



รายงานวิจัย

องค์ประกอบทางเคมีและสารออกฤทธิ์ทางชีวภาพในฟองน้ำของไทย

จากแนวชายฝั่งจังหวัดปัตตานี

(Chemical constituents and biologically active agents in Thai sponges
from Pattani coastline)

คณะผู้วิจัย

นายอนุชิต พลับรู้งการ; นายฉัตรชัย วัฒนาภิรมย์สกุล;

นางสุปรียา ยืนยงสวัสดิ์

หน่วยวิจัยผลิตภัณฑ์ธรรมชาติทางทะเล ภาควิชาเภสัชเวทและเภสัชพฤกษศาสตร์

คณะเภสัชศาสตร์ มหาวิทยาลัยสงขลานครินทร์

รับการสนับสนุนจาก เงินทุนสนับสนุนการวิจัยจากเงินรายได้ มหาวิทยาลัยสงขลานครินทร์
ประเภทกำหนดหัวข้อ (วิทยาศาสตร์ทางทะเล) ประจำปีงบประมาณ 2547

เมษายน 2551

บทคัดย่อ

จากการสำรวจฤทธิ์ทางชีวภาพและองค์ประกอบทางเคมีของสารสกัดหยาบจากสัตว์ไม่มีกระดูกสันหลังในทะเลซึ่งเก็บสำรวจจากบริเวณกองหินโลซิน จ.ปัตตานี-นราธิวาส และบริเวณรอบเกาะเต่า จ. สุราษฎร์ธานี พบว่าตัวอย่างฟองน้ำ 3 ชนิด ได้แก่ ฟองน้ำในสกุล *Corticium* และ *Ciocalapata* (จาก จ.สุราษฎร์ธานี) และฟองน้ำสกุล *Hemigellius* (จาก จ.ปัตตานี) มีฤทธิ์ทางชีวภาพและองค์ประกอบที่น่าสนใจ การศึกษาองค์ประกอบในตัวอย่างฟองน้ำแต่ละชนิด สามารถแยกสกัดและตรวจสอบฤทธิ์ทางชีวภาพของตัวอย่างสารต่างๆ ได้ดังนี้; 4-acetoxy plakinamine B จากฟองน้ำ *Corticium* sp. พบฤทธิ์ยับยั้งเอนไซม์อะซิติลโคลีนเอสเทอเรส ในระดับดี (IC_{50} $0.59 \pm 0.14 \mu M$); 5,9-*epi*-dioxysterogostan-3,8,17-triol และ 5,8-*epi*-dioxysterogostanol จากฟองน้ำ *Ciocalapata* sp. พบว่ามีฤทธิ์ต้านมาลาเรียในระดับดี (IC_{50} 7.1 และ $6.3 \mu M$, ตามลำดับ); และ (5Z,9Z)-nonatriacontadienoic acid จากฟองน้ำ *Hemigellius* sp. ทั้งนี้ 4-acetoxy plakinamine B; 5,9-*epi*-dioxysterogostan-3,8,17-triol; และ (5Z,9Z)-nonatriacontadienoic acid เป็นสารชนิดใหม่ที่พบเป็นครั้งแรกจากการวิจัยตามโครงการนี้

ABSTRACT

The preliminary screening for the biologically active components and chemical constituents in marine invertebrates collected from Losin Pinnacle, Pattani-Narathivat Provinces and from Koh-Tao, Surat-Thani Province showed interesting activities and chemical components in several sponge specimens, including the sponges of the genera *Corticium* and *Ciocalapata* (from Surat-Thani) and of the genus *Hemigellius* (from Pattani). The further investigation led to the isolation of the followings; 4-Acetoxy plakinamine B from *Corticium* sp., active in acetylcholinesterase inhibitory assay (IC_{50} $0.59 \pm 0.14 \mu M$); 5,9-*epi*-dioxysterogostan-3,8,17-triol and 5,8-*epi*-dioxysterogostanol from *Ciocalapata* sp., active in antimalarial assay (IC_{50} 7.1 และ $6.3 \mu M$, respectively); and (5Z,9Z)-nonatriacontadienoic acid from *Hemigellius* sp. Among these, 4-acetoxy plakinamine B; 5,9-*epi*-dioxysterogostan-3,8,17-triol; and (5Z,9Z)-nonatriacontadienoic acid are new compounds first reported in this investigation.

สารบัญ

ตอนที่	หน้า
กิตติกรรมประกาศ.....	ก
บทคัดย่อ.....	ข
สารบัญตาราง.....	จ
บทนำ.....	1
1 อนุพันธ์สเตอรอยดอลัลคาลอยด์ที่มีฤทธิ์ยับยั้งเอนไซม์อะซิติลโคลีนเอสเทอเรสจาก ฟองน้ำในสกุล <i>Corticium</i>	5
1.1. บทนำ.....	5
1.2. การทดลองและระเบียบวิธีวิจัย.....	6
1.2.1 สภาวะการทดลองทั่วไป.....	6
1.2.2 ตัวอย่างฟองน้ำ.....	7
1.2.3 การแยกสกัด.....	8
1.2.4 การทดสอบฤทธิ์ทางชีวภาพ.....	8
1.3. ผลการทดลอง และอภิปรายผลการทดลอง.....	9
1.3.1. การแยกสกัดและการวิเคราะห์สูตรโครงสร้าง.....	9
1.3.2. ฤทธิ์ทางชีวภาพ.....	12
2 อนุพันธ์สเตอรอยด์เปอร้อกไซด์ที่มีฤทธิ์ต้านมาลาเรียจากฟองน้ำในสกุล <i>Ciocalapata</i>	14
2.1. บทนำ.....	14
2.2. การทดลองและระเบียบวิธีวิจัย.....	15
2.2.1 สภาวะการทดลองทั่วไป.....	15
2.2.2 ตัวอย่างฟองน้ำ.....	15
2.2.3 การแยกสกัด.....	16
2.2.4 การทดสอบฤทธิ์ทางชีวภาพ.....	16
2.3. ผลการทดลอง และอภิปรายผลการทดลอง.....	17
2.3.1. การแยกสกัดและการวิเคราะห์สูตรโครงสร้าง.....	18
2.3.2. ฤทธิ์ทางชีวภาพ.....	24
3 กรดเคโมสปอนจิกจากฟองน้ำในสกุล <i>Hemigellius</i>	25
3.1. บทนำ.....	25
3.2. การทดลองและระเบียบวิธีวิจัย.....	26
3.2.1 สภาวะการทดลองทั่วไป.....	26
3.2.2 ตัวอย่างฟองน้ำ.....	26
3.2.3 การแยกสกัด.....	26
3.2.4 การทดสอบฤทธิ์ทางชีวภาพ.....	27
3.3. ผลการทดลอง และอภิปรายผลการทดลอง.....	27
3.3.1. การแยกสกัดและการวิเคราะห์สูตรโครงสร้าง.....	27

3.3.2. ฤทธิ์ทางชีวภาพ.....	29
เอกสารอ้างอิง.....	30
ผลผลิตของโครงการ.....	33

สารบัญตาราง

ตารางที่		หน้า
1	สารจากผลิตภัณฑ์ธรรมชาติทางทะเลที่อยู่ระหว่างการพัฒนาทางคลินิก	2
2	ค่าเคมีคัลชีพต์ของโปรตอนและคาร์บอนของสาร 1.....	11
3	ฤทธิ์การยับยั้งกิจกรรมของเอนไซม์ AChE ของสาร 1.....	13
4	ค่าเคมีคัลชีพต์ของโปรตอนและคาร์บอนของสาร 2.....	20
5	ค่าเคมีคัลชีพต์ของโปรตอนและคาร์บอนของสาร 3.....	23
6	ค่าเคมีคัลชีพต์ของโปรตอนและคาร์บอนของสาร 4.....	29

บทนำ

สิ่งมีชีวิตจากทะเล โดยเฉพาะในกลุ่มสัตว์ไม่มีกระดูกซึ่งดำรงชีพแบบเกาะติดกับที่ เช่น ฟองน้ำ ปะการังอ่อน และเพรียงหัวหอม เป็นกลุ่มของสิ่งมีชีวิตที่ได้รับความสนใจจากนักวิจัยในสาขาที่เกี่ยวข้องกับการพัฒนายาใหม่จากผลิตภัณฑ์ธรรมชาติอย่างกว้างขวาง โดยเฉพาะในช่วง 2-3 ทศวรรษที่ผ่านมา ซึ่งเป็นช่วงเวลาที่มีการรายงานการค้นพบสารเคมีชนิดใหม่จากสิ่งมีชีวิตจากทะเลอย่างต่อเนื่อง ประเด็นที่น่าสนใจที่เกี่ยวข้องกับผลิตภัณฑ์ธรรมชาติจากทะเลเหล่านี้ นอกเหนือไปจากการรายงานการค้นพบโครงสร้างแกนชนิดใหม่ที่ยังไม่เคยมีการค้นพบในสิ่งมีชีวิตที่อาศัยบนบกมาก่อน ซึ่งสื่อถึงกระบวนการชีวสังเคราะห์ที่แตกต่างจากสิ่งมีชีวิตบนบกโดยเฉพาะจากพืชสมุนไพรทั่วไปอย่างสิ้นเชิง สารเคมีที่มีการรายงานส่วนหนึ่งยังเป็นสารที่มีฤทธิ์ทางชีวภาพที่น่าสนใจ ทั้งในด้านความแรงในการออกฤทธิ์ เป้าหมายการออกฤทธิ์ รวมถึงกลไกการออกฤทธิ์ ซึ่งเป็นกลไกการออกฤทธิ์ที่ต่างไปจากกลไกการออกฤทธิ์ของยาที่มีการใช้ในทางคลินิกในปัจจุบัน

จนถึงปัจจุบัน มียาที่ได้รับการอนุมัติให้ใช้ในสถานพยาบาลทั่วไป ซึ่งได้จากผลิตภัณฑ์ธรรมชาติทางทะเล หรือมีต้นกำเนิดจากสารผลิตภัณฑ์ธรรมชาติทางทะเล อยู่เพียง 2 กลุ่มหลักเท่านั้น ได้แก่ ยาต้านมะเร็งกลุ่ม arabinonucleoside เช่น cytarabine และ gemcitabine ซึ่งมีต้นกำเนิดจาก nucleoside จากฟองน้ำ *Tethya crypta* (Schwartzmann et al, 2001) และเปปไทด์จากหอยเต้าปูน (*Conus* peptide) ได้แก่ zinocotide ซึ่งเป็นเปปไทด์ที่สังเคราะห์เลียนแบบเปปไทด์จากหอยเต้าปูน *Conus magnus* (Penn and Paice, 2000)

ถึงแม้จะมียาที่ได้จากสารผลิตภัณฑ์ธรรมชาติซึ่งได้รับการอนุมัติให้ใช้ในทางคลินิกโดยทั่วไปในปัจจุบันเพียงไม่กี่รายการ แต่หากเทียบกับระยะเวลา และจำนวนของสารที่ได้จากการรายงานการศึกษาวิจัยในผลิตภัณฑ์ธรรมชาติโดยรวมทั่วไปแล้ว อัตราส่วนเพียงเล็กน้อยนี้ก็แสดงให้เห็นศักยภาพและแนวโน้มที่ดีของสารจากผลิตภัณฑ์ธรรมชาติทางทะเลในการเป็นแหล่งที่มาของยาใหม่ และเมื่อรวมกับรายการของสารที่มีฤทธิ์ทางชีวภาพที่ได้จากผลิตภัณฑ์ธรรมชาติทางทะเลซึ่งอยู่ระหว่างการศึกษาวิจัยทางคลินิกในระยะต่าง ๆ แล้ว (ตารางที่ 1) ก็จะสามารถเห็นถึงศักยภาพที่ดีของสารผลิตภัณฑ์ธรรมชาติที่ได้จากสิ่งมีชีวิตในทะเลในการเป็นสารต้นแบบในการพัฒนายาใหม่ได้อย่างชัดเจน

ตารางที่ 1 ตัวอย่างสารจากผลิตภัณฑ์ธรรมชาติทางทะเลที่อยู่ระหว่างการพัฒนาทางคลินิก

ตัวอย่าง	แหล่งที่มา	สถานะการวิจัย
ecteinascidin 743 (Yondelis [®])	<i>Ecteinascidia turbinata</i>	Phase III (cancer)
AE-941 (eovastat)	shark cartilages	Phase III (cancer)
dehydrodidemnin B (Aplidin [®])	<i>Aplidium albicans</i>	Phase II (cancer)
bryostatin 1	<i>Bugula neritina</i>	Phase II (cancer)
soblidotin	<i>Dolabella auricularia</i>	Phase II (cancer)
synthatodin	<i>Dolabella auricularia</i>	Phase II (cancer)
kahalalide F	<i>Elysia rufescens</i> /Bryosis sp.	Phase II (cancer)
HTI-286	<i>Cymbastella</i> sp.	Phase II (cancer)
squalamine	<i>Squalus acanthias</i>	Phase II (cancer)
PM00104 (Zalypsis [®])	<i>Jurunna funebris</i>	Phase I (cancer)
E7389	<i>Lissodendoryx</i> sp.	Phase I (cancer)
ES-285 (spisulosine)	<i>Spisula polynyma</i>	Phase I (cancer)
KRN-7000	<i>Agelas mauritianus</i>	Phase I (cancer)
discodermolide	<i>Discodermia dissoluta</i>	Phase I (cancer)
GTS-21	<i>Paranemertes peregrina</i>	Phase I (Alzheimer's disease)
CGX-1160	<i>Conus geographus</i>	Phase I (pain)
CGX-1007	<i>Conus geographus</i>	Phase I (pain)

หมายเหตุ: ดัดแปลงจาก Newman and Cragg (2004)

ประเด็นที่เป็นที่น่าสังเกตเกี่ยวกับตัวอย่างของสารจากสิ่งมีชีวิตในทะเลที่มีการนำมาศึกษาและพัฒนาเพื่อเป็นยาตามทีแสดงในตารางที่ 1 คือ ตัวอย่างตามที่แสดงเกือบทั้งหมดเป็นสารที่มีแนวโน้มในการนำมาใช้เป็นยาด้านมะเร็ง หรือสารเคมีบำบัดที่มีฤทธิ์ทางชีวภาพและกลไกในการออกฤทธิ์ในรูปแบบที่ใกล้เคียงกับยาด้านมะเร็ง ทั้งนี้ เราอาจพิจารณาได้ว่าเป็นปรากฏการณ์ที่เกิดจาก 2 สาเหตุหลัก ในทางหนึ่ง ปัจจัยในด้านนโยบาย โดยเฉพาะจากการทุ่มเทงบประมาณจาก National Cancer Institute (NCI) ของสหรัฐอเมริกา เป็นสาเหตุหลักที่ทำให้ทิศทางของการวิจัยส่วนใหญ่มีความโน้มเอียงไปในด้านการแสวงหายาด้านมะเร็ง แต่ทางกลับกัน หากอ้างอิงถึงหลักการพื้นฐานของการศึกษาผลิตภัณฑ์ธรรมชาติจากทะเล ซึ่งเป็นที่ทราบทั่วไปว่า สารเคมีที่ได้จากสิ่งมีชีวิตในทะเลที่เป็นกลุ่มเป้าหมายส่วนใหญ่ โดยเฉพาะจากฟองน้ำและเพรียงหัวหอมซึ่งเป็นสัตว์ที่ดำรงชีวิตแบบติดอยู่กับที่นั้น มักจะเป็นสารพิษที่สร้างเพื่อใช้ในการป้องกันตนเอง

หรือเพื่อในการจับเหยื่อที่เคลื่อนไหวได้เร็วกว่า ดังนั้น เป้าหมายและกลไกในการออกฤทธิ์ของสารเหล่านี้ส่วนใหญ่จึงมุ่งไปที่การรบกวนระบบการทำงานทางสรีรวิทยาหรือชีวเคมีของผู้ล่าหรือเหยื่อ และกลายมาเป็นทิศทางในการปรับปรุงสูตรโครงสร้างและขนาดการใช้ยาจากสารเหล่านี้ เพื่อให้เกิดการทำลายเซลล์หรือจุลินทรีย์ก่อโรคเป็นหลัก

อย่างไรก็ตาม นอกเหนือจากสารที่มีฤทธิ์ต้านมะเร็งหรือฤทธิ์ความเป็นพิษต่อเซลล์มะเร็ง การพัฒนาสารจากผลิตภัณฑ์ธรรมชาติจากทะเลเพื่อการใช้ประโยชน์ทางการแพทย์และทางเภสัชกรรมยังมีทิศทางในการพัฒนาไปในรูปแบบการออกฤทธิ์อื่นๆ อีก ตัวอย่างที่น่าสนใจคือ อนุพันธ์ไคเทอร์ปีนในกลุ่ม pseudopterocins จากกัลปังหา *Pseudopterogorgia elisabethae* ซึ่งเป็นสารที่มีฤทธิ์ในการกระตุ้นการเจริญของเซลล์และผลต่อกลไกการเกิดการอักเสบ และในปัจจุบันมีการนำมาพัฒนาเพื่อเป็นสารลดริ้วรอยและบำรุงผิวในเครื่องสำอางของ Estée Lauder ด้วย

จากตัวอย่างที่อ้างถึงข้างต้น เป็นตัวอย่างที่แสดงให้เห็นถึงศักยภาพของสารจากผลิตภัณฑ์ธรรมชาติจากทะเลในฐานะของแหล่งที่มาของยาใหม่ได้เป็นอย่างดี และเป็นที่มาของการดำเนินการวิจัยตามโครงการวิจัยเรื่อง องค์ประกอบทางเคมีและสารออกฤทธิ์ทางชีวภาพในฟองน้ำของไทยจากแนวชายฝั่งจังหวัดปัตตานี ซึ่งเน้นการศึกษาวิจัยและการแสวงหาสารผลิตภัณฑ์ธรรมชาติจากทะเลจากแหล่งที่มาตามทีละระดับในโครงการ โดยมุ่งหาสารเคมีชนิดใหม่หรือสารที่มีกลไกการออกฤทธิ์ชนิดใหม่ที่ยังไม่มีการรายงานมาก่อน และคาดหวังว่าผลจากการศึกษาวิจัยนี้ จะนำไปสู่การได้มาซึ่งสารกลุ่มนำที่สามารถนำมาเป็นต้นแบบในการพัฒนายาใหม่ได้ต่อไปในอนาคต

วัตถุประสงค์ของโครงการวิจัยเรื่อง องค์ประกอบทางเคมีและสารออกฤทธิ์ทางชีวภาพในฟองน้ำของไทยจากแนวชายฝั่งจังหวัดปัตตานี ประกอบด้วย

1. เพื่อแยกสกัดและศึกษาสูตรโครงสร้างทางเคมีของสารที่มีฤทธิ์ทางชีวภาพ และ/หรือสารชนิดใหม่ที่สูตรโครงสร้างทางเคมีที่น่าสนใจจากฟองน้ำที่สำรวจพบได้ในแนวปะการังนอกชายฝั่งจังหวัดปัตตานี
2. เพื่อศึกษาฤทธิ์ทางชีวภาพของสารที่แยกได้จากฟองน้ำซึ่งได้จากผลการศึกษาตามข้อ 1

อนึ่ง สืบเนื่องจากปัญหาและอุปสรรคในการวิจัยตามที่ระบุในรายงานความก้าวหน้าของโครงการ และตามแบบขยายระยะเวลาดำเนินงานของโครงการ ซึ่งทำให้ผู้วิจัยไม่สามารถเข้าไปในพื้นที่สำรวจตัวอย่าง

เพื่อเก็บรวบรวมตัวอย่างฟองน้ำเพิ่มเติมตามที่ได้ระบุในระเบียบวิธีวิจัยในข้อเสนอโครงการได้ ผู้วิจัยได้แจ้งขอปรับและเพิ่มเติมพื้นที่ในการสำรวจตัวอย่างจากเดิมที่ระบุพื้นที่เฉพาะในแนวชายฝั่งจังหวัดปัตตานี มาเป็นพื้นที่แนวชายฝั่งของจังหวัดสุราษฎร์ธานีด้วย (อ้างถึงแบบวิจัย 14.1 เพื่อขอขยายเวลาและปรับปรุงโครงการเสนอเมื่อ กรกฎาคม พ.ศ.2550)

รายงานการวิจัยฉบับนี้แบ่งเป็น 3 ส่วน ตามชนิดของตัวอย่างฟองน้ำซึ่งผู้วิจัยได้คัดเลือกตามผลการศึกษาขั้นคัดกรอง เพื่อศึกษาวิจัยและแยกสกัดสารที่มีฤทธิ์ทางชีวภาพและองค์ประกอบทางเคมีที่น่าสนใจ ได้แก่ การศึกษาสารที่มีฤทธิ์ยับยั้งเอนไซม์อะซิติลโคลีนเอสเทอเรสจากฟองน้ำในสกุล *Corticium*; การศึกษาสารที่มีฤทธิ์ต้านมาลาเรียจากฟองน้ำในสกุล *Ciocalapata* และ การแยกสกัดและศึกษาสูตรโครงสร้างของกรดไขมันจากฟองน้ำ *Hemigellius* ทั้งนี้ กิจกรรมการวิจัยในโครงการแต่ละส่วน ประกอบด้วยกิจกรรมหลักดังนี้

- การเก็บสำรวจตัวอย่างฟองน้ำ พื้นที่เก็บสำรวจสำหรับตัวอย่างฟองน้ำในสกุล *Hemigellius* ได้จากบริเวณกองหินโลซิน จ.ปัตตานี-นราธิวาส ส่วนตัวอย่างฟองน้ำในสกุล *Corticium* และ *Ciocalapata* ได้จากบริเวณเกาะเต่า จ.สุราษฎร์ธานี
- การทดสอบฤทธิ์ทางชีวภาพในระดับคัดกรอง การติดตามผลการแยกสกัด และการทดสอบยืนยันผลและวิเคราะห์ความแรงในการออกฤทธิ์ ฤทธิ์ทางชีวภาพที่เป็นเป้าหมายในโครงการวิจัยนี้ ประกอบด้วย (1) ฤทธิ์ยับยั้งเอนไซม์อะซิติลโคลีนเอสเทอเรส ซึ่งดำเนินการภายใต้ความร่วมมือกับ รศ.ดร. กรกนก อิงคินันท์ คณะเภสัชศาสตร์ มหาวิทยาลัยนเรศวร; (2) ฤทธิ์ต้านมาลาเรีย ดำเนินการโดยขอใช้บริการจากหน่วยปฏิบัติการวิจัยกลาง ศูนย์พันธุวิศวกรรมและเทคโนโลยีชีวภาพแห่งชาติ และ (3) ฤทธิ์ความเป็นพิษต่อเซลล์มะเร็ง โดยใช้เซลล์มะเร็ง HeLa, MCF-7, KB, และ HT-29 เป็นเซลล์มะเร็งเป้าหมายในการทดสอบ และดำเนินการในห้องปฏิบัติการของคณะเภสัชศาสตร์ มหาวิทยาลัยสงขลานครินทร์
- การพิสูจน์เอกลักษณ์ทางอนุกรมวิธาน ดำเนินการภายใต้ความร่วมมือกับ ดร. สมชัย บุศราวิช สถาบันวิจัยทรัพยากรทางทะเล ชายฝั่ง และป่าชายเลน จ.ภูเก็ต
- การแยกสกัดและการศึกษาโครงสร้างทางเคมี โดยคัดเลือกตัวอย่างที่มีฤทธิ์ที่ดีจากผลการทดสอบระดับคัดกรองที่อ้างถึงข้างต้น และดำเนินการแยกสกัดโดยใช้การทดสอบฤทธิ์ทางชีวภาพประกอบเพื่อติดตามส่วนของสารสกัดที่มีฤทธิ์ทางชีวภาพตามที่ต้องการ จนกระทั่งได้สารตัวอย่างที่มีฤทธิ์ทางชีวภาพนั้นๆ

ตอนที่ 1

อนุพันธ์สเตอรอยด์อัลคาลอยด์ที่มีฤทธิ์ยับยั้งเอนไซม์อะซิติลโคลีนเอสเทอเรสจาก

ฟองน้ำในสกุล *Corticium*

1.1. บทนำ

เอนไซม์อะซิติลโคลีนเอสเทอเรส (Acetylcholinesterase; AChE, EC 3.1.1.7) เป็นเอนไซม์ที่ทำหน้าที่เป็นองค์ประกอบสำคัญในระบบประสาทโคลิเนอร์จิก ณ บริเวณรอยต่อเซลล์ประสาท (cholinergic synapses) ทั้งในระบบประสาทโคลิเนอร์จิกของสมอง และในระบบประสาท-กล้ามเนื้อ (neuromuscular junctions) โดยทำหน้าที่หลักในการเร่งปฏิกิริยาไฮโดรไลซิสของสารสื่อประสาทอะซิติลโคลีน ซึ่งส่งผลให้สัญญาณประสาทที่กระตุ้นโดยสารสื่อประสาทนี้สิ้นสุด และเซลล์ประสาทหรือเซลล์กล้ามเนื้อที่รองรับสัญญาณนั้นสามารถเตรียมพร้อมต่อการรับสัญญาณรอบถัดไป

เนื่องจากบทบาทของอะซิติลโคลีนในฐานะของสารสื่อประสาทซึ่งมีความสำคัญต่อระบบทางสรีรวิทยาในแทบทุกส่วน ทำให้ AChE เข้ามามีบทบาทในฐานะของเป้าหมายการออกแบบยา โดยเฉพาะในโรคที่มีส่วนเกี่ยวข้องกับความบกพร่องในระบบประสาทโคลิเนอร์จิกด้วยเช่นกัน ตัวอย่างเช่น โรคอัลไซเมอร์ (Alzheimer's disease; AD) พาร์กินสัน (Parkinson's disease) และอาการหนังตาตก (myasthenia gravis) เป็นต้น รวมไปถึงเป็นเป้าหมายของการออกแบบสารที่มีฤทธิ์ยับยั้ง AChE ซึ่งใช้ในภาคเกษตรกรรม เช่น ยาฆ่าแมลงกลุ่มฟอสเฟต หรือแม้กระทั่งการใช้เป็นอาวุธเคมีในสงคราม

สำหรับการใช้สารยับยั้ง AChE ในผู้ป่วย AD นั้น มีพื้นฐานในการออกแบบยาจากสมมติฐานโคลิเนอร์จิก (cholinergic hypothesis) ซึ่งระบุว่า ความบกพร่องของระบบประสาทโคลิเนอร์จิกในสมอง โดยเฉพาะส่วนที่เกิดจากการขาดสารสื่อประสาทอะซิติลโคลีน เป็นหนึ่งในอาการแสดงของผู้ป่วยโรคอัลไซเมอร์ และอาจเป็นหนึ่งในสาเหตุที่ทำให้เกิดการสะสมคราบอะมัยลอยด์ (amyloid plaque) ซึ่งเป็นหนึ่งในพยาธิสภาพหลักในสมองของผู้ป่วยจากโรค AD ดังนั้น การขาดเซย์ปริมาณของอะซิติลโคลีนซึ่งเป็นสารสื่อประสาทหลักของระบบประสาทโคลิเนอร์จิกจึงเป็นแนวทางหนึ่งในการรักษาโรค AD ที่ใกล้เคียงกับการแก้ไขจากต้นเหตุที่สุด (Francis et al, 1999) ทั้งนี้ ในปัจจุบัน ยาที่ออกฤทธิ์ยับยั้ง AChE ที่ได้รับการอนุมัติให้ใช้กับผู้ป่วยที่ได้รับการวินิจฉัยแล้วว่าเป็นโรค AD ได้แก่ donepezil, galantamine และ rivastigmine ส่วน tacrine

ซึ่งเป็นสารออกฤทธิ์ยับยั้ง AChE ชนิดแรกที่ได้รับการอนุมัติให้ใช้ในผู้ป่วยได้นั้น ถูกเพิกถอนแล้วเนื่องจากผล
ความเป็นพิษต่อตับ (Estami and Espinoza., 2003)

ถึงแม้หลักการในการรักษาผู้ป่วยโรค AD โดยใช้ยายับยั้ง AChE จะยังคงมีข้อถกเถียงว่า เป็นเพียง
การรักษาตามอาการ และผลการรักษาที่ได้โดยส่วนใหญ่ จะมีผลที่ติดอยู่ในช่วงระยะเวลาสั้นๆ เพียงไม่เกิน 1 ปี
เท่านั้น แต่ในทางกลับกัน ก็ยังมีรายงานว่าในผู้ป่วยบางราย การใช้ยายับยั้ง AChE สามารถคงระดับ
ผลการรักษาที่น่าพอใจได้นานกว่า 3 ปี ดังนั้น การพัฒนายาที่ออกฤทธิ์ยับยั้ง AChE จึงยังเป็นหนึ่งใน
เป้าหมายการออกแบบยาเพื่อใช้ในผู้ป่วย AD รวมถึงการใช้ในผู้ป่วยที่มีความผิดปกติในระบบประสาทที่
เกี่ยวข้องกับความบกพร่องของระบบประสาทโคลิเนอร์จิกในรูปแบบอื่นๆ ทั้งนี้ เพื่อเพิ่มทางเลือกให้แพทย์
และบุคลากรด้านสุขภาพในการรักษาและบรรเทาอาการผิดปกติดังกล่าว

สารที่ได้จากผลิตภัณฑ์ธรรมชาติ เป็นหนึ่งในเป้าหมายของการพัฒนายาและสารใหม่ที่มีฤทธิ์ยับยั้ง
AChE ทั้งนี้ จนถึงปัจจุบัน มีการรายงานการศึกษาสารจากผลิตภัณฑ์ธรรมชาติที่มีฤทธิ์ยับยั้งเอนไซม์ดังกล่าว
จากพืชสมุนไพรชนิดต่างๆ จำนวนไม่น้อย ตัวอย่างของสารที่มีฤทธิ์ยับยั้ง AChE จากธรรมชาติสามารถ
ตรวจสอบได้จากรายงานและบทความปริทรรศน์หลายฉบับ เช่น Houghton and Howes (2005), Viegas et
al (2005) และ Elgorashi et al (2006) เป็นต้น

จากผลการศึกษาในระดับการคัดกรองฤทธิ์ทางชีวภาพของสารสกัดจากสัตว์ไม่มีกระดูกสันหลังกลุ่ม
ฟองน้ำและเพรียงหัวหอมซึ่งได้จากการสำรวจตัวอย่างในบริเวณรอบเกาะเต่า อ.เกาะพะงัน จ.สุราษฎร์ธานี
ผู้วิจัยพบว่าสารสกัดหยาบจากตัวอย่างฟองน้ำชนิดหนึ่งในสกุล *Corticium* มีฤทธิ์ยับยั้งเอนไซม์ AChE และ
ฤทธิ์ความเป็นพิษต่อเซลล์ในระดับที่ดี (สารสกัดความเข้มข้น 0.1 mg/mL ยับยั้งกิจกรรมของเอนไซม์
มากกว่า 90% และยับยั้งการเจริญของเซลล์มะเร็งมากกว่า 90%) จากการศึกษาเพื่อแยกสกัดสารที่มีฤทธิ์ทาง
ชีวภาพในตัวอย่างฟองน้ำดังกล่าว สามารถแยกสารในกลุ่มสเตอรอยด์อัลคาลอยด์ได้ 1 ชนิด คือ 4-
acetoxy plakinamine B (1)

1.2. การทดลองและระเบียบวิธีวิจัย

1.2.1. สภาวะการทดลองทั่วไป

ในกรณีที่ไม่มีข้อกำหนดอื่นใด ตัวทำละลายและสารเคมีที่ใช้เพื่อการทดลองตลอดการวิจัยนี้ เป็นตัว
ทำละลายและสารเคมีระดับเพื่อการวิเคราะห์ (analytical grade) และใช้ในการศึกษาโดยไม่มีการทำให้บริสุทธิ์

เพิ่มเติมใดๆ ส่วนตัวทำละลายที่ใช้เพื่อการวิเคราะห์โดยเทคนิคโครมาโตกราฟีสมรรถภาพสูง (HPLC) เป็นตัวทำละลายในระดับเพื่อ HPLC ซึ่งกรองผ่านเมมเบรนขนาด 230 นาโนเมตร (Millipore) และกำจัดก๊าซโดยใช้คลื่นเสียงความถี่สูงก่อนใช้งาน

สเปกโตรมิเตอร์ที่ใช้ในการวิจัยนี้ประกอบด้วย; Jasco J-180 spectropolarimeter (ภาควิชาเภสัชเวท คณะเภสัชศาสตร์ จุฬาลงกรณ์มหาวิทยาลัย) สำหรับการวัดค่าองศาการหมุนระนาบแสงจำเพาะ; Spectronic Genesys 5 spectrophotometer (ภาควิชาเภสัชเคมี คณะเภสัชศาสตร์ มหาวิทยาลัยสงขลานครินทร์) สำหรับการวัดสเปกตรัมการดูดกลืนแสงอัลตราไวโอเล็ต-แสงธรรมชาติ (UV); Jasco IR-810 infrared spectrometer (ภาควิชาเภสัชเวทและเภสัชพฤกษศาสตร์ คณะเภสัชศาสตร์ มหาวิทยาลัยสงขลานครินทร์) สำหรับการวัดสเปกตรัมการดูดกลืนแสงอินฟราเรด (IR); Micromass LCT mass spectrometer (ศูนย์เครื่องมือวิทยาศาสตร์ มหาวิทยาลัยสงขลานครินทร์) สำหรับการตรวจวัดแมสสเปกตรัม (MS) ทั้งระดับความไวปกติและความไวสูง; FTNMR Varian Unity Inova 500 spectrometer (ศูนย์เครื่องมือวิทยาศาสตร์ มหาวิทยาลัยสงขลานครินทร์) สำหรับการตรวจวัด เอ็น เอ็ม อาร์ สเปกตรัม (NMR) โดยใช้สัญญาณของตัวทำละลายตามระบุเป็นสัญญาณอ้างอิง

การแยกสกัดโดยเทคนิคโครมาโตกราฟี ใช้ซิลิกาเจล (Scharlau[®]; ขนาดอนุภาค 230-400 mesh) หรือ เซฟาเด็กซ์ LH-20 (GE Healthcare[®]) เป็นวัฏภาคอยู่กับที่ปกติ ส่วนโครมาโตกราฟีแบบของเหลวสมรรถนะสูง (HPLC) ทดลองโดยเครื่อง HPLC ของ Water[®] 600E multisolvent delivery system ประกอบกับ Water[®] 484 UV detector และ Rheodyne[®] 7125 injector port

1.2.2. ตัวอย่างฟองน้ำ

ฟองน้ำสกุล *Corticium* (วงศ์ Plakinidae) ที่ใช้ในการวิจัยนี้ เก็บสำรวจจากบริเวณรอบเกาะเต่า อ. เกาะพะงัน จ.สุราษฎร์ธานี (10° 07.6' เหนือ 99° 48.7' ตะวันออก) การพิสูจน์เอกลักษณ์ทางอนุกรมวิธานดำเนินการโดย ดร.สมชัย บุศราวิช สถาบันวิจัยทรัพยากรทางทะเล ชายฝั่ง และป่าชายเลน จ.ภูเก็ต ตัวอย่างอ้างอิง (PMBC 21360) เก็บรักษาที่พิพิธภัณฑ์ของสถาบันวิจัยทรัพยากรทางทะเล ชายฝั่ง และป่าชายเลน จ.ภูเก็ต

1.2.3. การแยกสกัด

ตัวอย่างฟองน้ำหลังทำให้แห้งโดยเทคนิคการแช่เยือกแข็งหนัก 260 กรัม สกัดด้วยตัวทำละลายเฮกเซน ไดคลอโรมีเทน และเมทานอล ตามลำดับ ผลจากการคัดกรองขั้นต้น นำไปสู่การคัดเลือกสารสกัดจากชั้นเมทานอลซึ่งมีฤทธิ์ยับยั้ง AChE สูงสุดเพื่อการศึกษาขั้นต่อไป

การสกัดแยกประกอบด้วยการแยกด้วยเทคนิคโครมาโตกราฟีต่างๆ ตามลำดับ ดังนี้; คอลัมน์ซิลิกาเจล (10% เมทานอลในเอทิลอะซิเตท); เซฟาเติกซ์คอลัมน์ (MeOH); C-18 รีเวอร์เฟสคอลัมน์ (40% น้ำในอะซิโตนไทรล์) และ โครมาโตกราฟีผิวบาง (เมทานอล:อะซิโตน:ไดคลอโรมีเทน 1.5:1:7.5) และสามารถแยกสารตัวอย่าง 1 ได้ 1 ชนิด (2.8 มิลลิกรัม)

4-Acetoxy-plakinamine B (1); $[\alpha]_D^{25} +21.9^\circ$ (c 0.0014, MeOH); UV (MeOH) λ_{max} (log ϵ) 242 (4.29) nm; IR (thin film) ν_{max} 3400, 2925, 1740, 1240 cm^{-1} ; 1H และ ^{13}C NMR (C_6D_6 , 500 MHz สำหรับ 1H) ดูตารางที่ 2; EIMS m/z (relative intensity) 508 [M^+] (63), 493 (10), 433 (10), 164 (36), 136 (41); HR-EIMS m/z 508.4001 (calcd for $C_{33}H_{52}N_2O_2$ 508.4029).

1.2.4. การทดสอบฤทธิ์ทางชีวภาพ

การทดสอบฤทธิ์ยับยั้ง AChE ในการวิจัยนี้ ใช้การทดสอบโดย Microplate technique ตามวิธีการทดสอบที่รายงานใน Ingkaninan et al (2006) โดยใช้สารละลายต่างๆ ตามลำดับดังนี้ 5,5'-dithiobis[2-nitrobenzoic acid] (ความเข้มข้น 3 mM) 125 μL ; acetylthiocholine iodide (ความเข้มข้น 1.5 mM) 25 μL ; Tris-HCl buffer (pH 8.0 ความเข้มข้น 50 μM) 50 μL ; สารละลายตัวอย่างใน Tris-HCl buffer ตามความเข้มข้นต่างๆ เพื่อการทดสอบ ปริมาตร 25 μL ต่อ 1 ความเข้มข้น; สารละลายเอนไซม์ AChE จากปลาไหลไฟฟ้า (0.28 U/mL; type VI-S, EC 3.1.1.7; Sigma[®]) 25 μL ตรวจวัดความเข้มการดูดกลืนแสงของสารละลายสีเหลืองที่เกิดขึ้นที่ความยาวคลื่น 405 นาโนเมตรทุก 5 วินาทีเป็นเวลา 2 นาที คำนวณค่าการยับยั้งกิจกรรมและจลนศาสตร์ของเอนไซม์โดยใช้ Prism software และเทียบความแรงการออกฤทธิ์โดยใช้ galantamine เป็นตัวอย่างอ้างอิง

สำหรับการทดสอบฤทธิ์ความเป็นพิษต่อเซลล์มะเร็ง ทดสอบโดยใช้วิธี sulphorhodamine B assay (Skehan et al, 1990) และใช้เซลล์มะเร็งต่อไปนี้เป็นเซลล์เป้าหมาย; MCF-7 (เซลล์มะเร็งเต้านม), KB (เซลล์มะเร็งช่องปากและหลอดอาหารส่วนต้น), HeLa (เซลล์มะเร็งปากมดลูก) และ HT-29 (เซลล์มะเร็งลำไส้)

ใหญ่) วิธีการทดสอบโดยย่อประกอบด้วยการเตรียมตัวอย่างเซลล์เพาะเลี้ยงในรูปเซลล์เพาะเลี้ยงที่เรียงตัวแถวเดียวในภาชนะหลุมขนาด 96 หลุม (จำนวนเซลล์ต่อหลุมประมาณ 2×10^3 เซลล์) เติมสารละลายตัวอย่างที่ต้องการทดสอบในตัวกลางเพาะเลี้ยงตามอ้างอิงในเอกสารอ้างอิง ให้เซลล์ได้สัมผัสสารตัวอย่างเป็นเวลา 72 ชั่วโมง ล้างตัวกลางที่มีสารละลายตัวอย่างออกและเปลี่ยนเป็นตัวกลางใหม่ เพาะเลี้ยงเซลล์เป้าหมายต่ออีก 72 ชั่วโมง ตรึงเซลล์ด้วยกรดไตรคลอโรอะซิติก และย้อมสีเซลล์ด้วยสารละลาย sulphorhodamine B อะซีส ส่วนที่ติดเซลล์ให้อยู่ในรูปสารละลายและวัดความเข้มของการดูดกลืนแสงที่ 492 นาโนเมตร แปลผลการยับยั้งการเจริญของเซลล์จากค่าความเข้มในการดูดกลืนแสงและรายงานผลในรูป IC_{50} โดยใช้ camptothecin เป็นสารมาตรฐานอ้างอิง

1.3. ผลการทดลองและอภิปรายผลการทดลอง

จากผลการศึกษาวิจัยในระดับนำร่องซึ่งผู้วิจัยได้ทดสอบฤทธิ์ทางชีวภาพเพื่อคัดกรองสารสกัดจากสัตว์ไม่มีกระดูกสันหลังในทะเล (เน้นสัตว์ทะเลในกลุ่มฟองน้ำและเพรียงหัวหอม) และได้คัดเลือกสารสกัดจากฟองน้ำชนิดหนึ่งในสกุล *Corticium* เพื่อแยกสกัดสารที่มีฤทธิ์ยับยั้ง AChE ผู้วิจัยสามารถแยกสกัดสารในกลุ่มสเตอรอยด์อัลคาลอยด์ได้ 1 ชนิด ผลการวิเคราะห์สูตรโครงสร้างและการศึกษาฤทธิ์ทางชีวภาพของสารตัวอย่างเป็นดังต่อไปนี้

1.3.1. การแยกสกัดและการวิเคราะห์สูตรโครงสร้าง

เมื่อใช้การทดสอบฤทธิ์การยับยั้ง AChE ติดตามกระบวนการแยกสกัดสารเคมีจากฟองน้ำ *Corticium* โดยใช้เทคนิคทางโครมาโตกราฟีในการแยกสกัด สามารถแยกสารตัวอย่างได้ 1 ชนิด มีลักษณะเป็นของแข็งสีขาว (น้ำหนักสารตัวอย่างที่แยกได้ 2.8 มิลลิกรัม)

ในการวิเคราะห์มวลโมเลกุลของตัวอย่าง สามารถสังเกตสัญญาณโมเลกุลที่ m/z 508 [M⁺] จากแมสสเปกตรัมในเทคนิคอิเล็กตรอนอิมแพคต์ เมื่อประกอบกับการวิเคราะห์ NMR สเปกตรัม (สัญญาณคาร์บอน 33 อะตอมและโปรตอน 51 อะตอม) และจาก MS ความแม่นยำสูง (m/z 508.4001) ทำให้สามารถเสนอสูตรโมเลกุลเป็น $C_{33}H_{52}N_2O_2$ (ผลค่านวณมวลโมเลกุลเป็น 508.4029) มีค่าสมมูลพันธะคู่เป็น 9 สัมพันธ์กับจำนวนพันธะคู่ 3 พันธะ หมูคาร์บอนิล 1 พันธะ และจำนวนวงแหวน 5 วง ทั้งนี้ หมูคาร์บอนิลข้างต้น คาดว่าเป็นหมูเอสเทอร์ จากที่สามารถสังเกตเห็นสัญญาณใน IR สเปกตรัมที่ 1740 cm^{-1} นอกจากนั้น ยังสามารถสังเกตเห็นการดูดกลืนแสงของหมู่อะมิโนปฐมภูมิได้อีก 1 หมูที่ 3400 cm^{-1} ด้วย

สเปกตรัม NMR ของสารตัวอย่าง 1 (ตารางที่ 2, 500 MHz สำหรับ ^1H , C_6D_6) เป็นสเปกตรัมที่มีลักษณะทั่วไปของสารประกอบสเตอรอยด์ ซึ่งสังเกตได้จากค่าเคมีคัลชิฟต์เฉพาะตัวของหมู่เมทิลที่ตำแหน่ง 18 และ 19 (δ_{H} 0.64, s, H-18; 1.14, s, H-19; δ_{C} 12.3, C-18; 15.1, C-19) ร่วมกับสัญญาณของโปรตอนบนคาร์บอนแบบเมทิลีน ซึ่งรวมตัวอยู่ในช่วง 1.0 – 1.5 ppm ของสเปกตรัม ^1H NMR

สัญญาณของหมู่ฟังก์ชันที่เป็นลักษณะเฉพาะตัวของสาร 1 ประกอบด้วยสัญญาณโปรตอนของหมู่ไฮดรอกซิลแบบ *E* ที่ δ 5.49 (dd, $J = 15.3, 8.9$ Hz, H-22) และ 6.54 (d, $J = 15.3$ Hz, H-23) เมื่อประกอบกับข้อมูลจากการทดลอง HMBC และ $^1\text{H}, ^1\text{H}$ -COSY ทำให้สามารถสร้างส่วนของสูตรโครงสร้างส่วนของ 4-(1,3-dimethyl)-3,4-didehydropiperidinyl ซึ่งต่ออยู่บนคาร์บอนตำแหน่ง 20 ของโครงสร้างแกนแบบสเตอรอยด์ โดยมีหมู่เมทิลตำแหน่ง 21 ซึ่งสามารถสังเกตสัญญาณโปรตอนได้ที่ δ 1.14 (d, $J = 5.8$ Hz) ที่ต่ออยู่บนคาร์บอนตำแหน่ง 20 นี้เช่นกัน

หมู่ฟังก์ชันที่สำคัญอีก 2 หมู่ที่สังเกตได้จากสเปกตรัม ^1H NMR คือสัญญาณของหมู่แทนที่บนคาร์บอนตำแหน่ง 3 และ 4 ทั้งนี้ สำหรับตำแหน่งที่ 3 สัญญาณหลักประกอบด้วยสัญญาณที่ δ 2.62 (br d, $J = 2.6$ Hz) และที่ δ 2.19 (s) ซึ่งประกอบกันเป็นสัญญาณของหมู่เมทิลอะมิโน ส่วนสัญญาณบนตำแหน่ง 4 ประกอบด้วยสัญญาณที่ δ 5.07 (br s) และ 1.71 (s) ซึ่งเมื่อรวมกับการแปลผลจากสเปกตรัม HMBC ทำให้สามารถประกอบโครงสร้างส่วนของหมู่อะเซทอกซีซึ่งแทนที่บนคาร์บอนตำแหน่ง 4 ได้

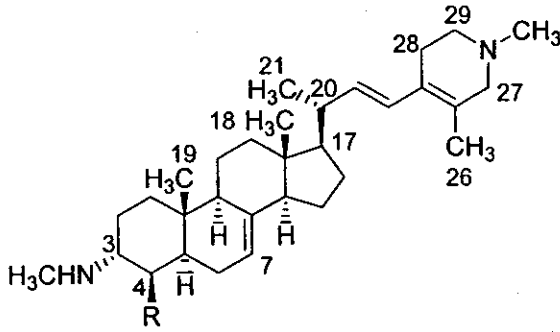
การแปลผลของส่วนโครงสร้างแกนตำแหน่งอื่นๆ ใช้การแปลผลข้อมูลจากสเปกตรัม $^1\text{H}, ^1\text{H}$ -COSY และ HMBC ซึ่งให้ได้โครงสร้างของสเตอรอยด์ที่มีแกนเป็นแบบ stigmastane และนำไปสู่ข้อสรุปว่าสูตรโครงสร้างของสาร 1 เป็นสเตอรอยด์อัลคาลอยด์แบบ stigmastane ที่มีไนโตรเจนแทนที่ที่ตำแหน่ง 3 และ 28 และมีหมู่อะเซทอกซีแทนที่ที่ตำแหน่ง 4 ซึ่งถือเป็นโครงสร้างของสารสมาชิกใหม่ของสเตอรอยด์อัลคาลอยด์กลุ่ม plakinamine ชื่อ 4-acetoxy-plakinamine B ตามที่แสดง (สรุปค่าเคมีคัลชิฟต์จาสเปกตรัม NMR ของสารตัวอย่าง 1 แสดงตามตาราง 2)

ตารางที่ 2. ค่าเคมีคัลชิฟต์ของโปรตอนและคาร์บอนของสาร 1 (C_6D_6 ; 500 MHz สำหรับโปรตอน)^๓

position	¹ H (mult., J in Hz)	¹³ C (mult)	position	¹ H (mult., J in Hz)	¹³ C (mult)
1	1.44 (m; 2H)	32.1 (CH ₂)	18	0.64 (s; 3H)	12.3 (CH ₃)
2	1.32 (m; 2H)	28.7 (CH ₂)	19	1.14 (s; 3H)	15.1 (CH ₃)
3	2.62 (br d, 2.6)	58.0 (CH)	20	2.18 (m)	41.6 (CH)
4	5.07 (br s)	74.0 (CH)	21	1.14 (d, 5.8; 3H)	21.3 (CH ₃)
5	1.20 (m)	38.9 (CH)	22	5.49 (dd, 15.3, 8.9)	134.6 (CH)
6	1.72 (m); 2.12 (m)	25.8 (CH ₂)	23	6.54 (d, 15.3)	125.6 (CH)
7	5.29 (br s)	118.4 (CH)	24	-	126.3 (C)
8	-	139.6 (C)	25	-	127.5 (C)
9	1.74 (m)	50.8 (CH)	26	1.61 (s; 3H)	16.4 (CH ₃)
10	-	34.5 (C)	27	2.75 (br s; 2H)	60.7 (CH ₂)
11	1.50 (m); 1.86 (m)	23.3 (CH ₂)	28	2.37 (br s; 2H)	27.0 (CH ₂)
12	1.97 (m; 2H)	39.7 (CH ₂)	29	2.41 (m); 2.44 (m)	52.6 (CH ₂)
13	-	43.6 (C)	N-CH ₃ -3	2.19 (s; 3H)	45.7 (CH ₃)
14	1.81 (m)	55.4 (CH)	N-CH ₃ -27	2.25 (s; 3H)	34.9 (CH ₃)
15 ^๖	1.39 (m; 2H)	22.5 (CH ₂)	COCH ₃ -4	-	169.6 (C)
16 ^๖	1.50 (m; 2H)	21.3 (CH ₂)	COCH ₃ -4	1.71 (s; 3H)	20.8 (CH ₃)
17	1.25 (m)	56.2 (CH)			

หมายเหตุ ^๓ หากไม่มีการระบุอื่นใด สัญญาณตามที่แสดงเป็นสัญญาณที่เทียบเท่ากับ 1 โปรตอนหรือ 1 คาร์บอนตามกำหนด

^๖ ค่าเคมีคัลชิฟต์อาจสลับกัน



1 ; R = OCOCH₃

2 ; R = H

เนื่องจากปริมาณของสารตัวอย่างที่แยกได้มีน้อยเกินกว่าที่จะสามารถวิเคราะห์สเตรอไอเคมีแบบสมบูรณ์ได้ การเสนอคอนฟิเจอร์ชันของสาร 1 ตามที่แสดงข้างล่างเป็นเพียงการเปรียบเทียบกับข้อมูลจากอนุพันธ์ที่มีโครงสร้างใกล้เคียงกัน และเสนอเป็นคอนฟิเจอร์ชันแบบสัมพัทธ์ ทั้งนี้ ในส่วนโครงสร้างแกนสเตอรอยด์ ค่าเคมีคัลชิฟต์ของคาร์บอนตำแหน่ง 18 และ 19 (δ 12.3 และ 15.1 ตามลำดับ) แสดงให้เห็นว่าโครงสร้างแกนนี้เป็นวงแหวนสเตอรอยด์ที่ต่อกันแบบ *trans* ตลอดทั้งโครงสร้าง ส่วนหมู่แทนที่บนตำแหน่ง 3 และ 4 วางตัวในตำแหน่ง axial จากค่าคงที่คัปปลิงของโปรตอนที่มีค่าน้อยกว่า 10 Hz ทั้ง 2 ตำแหน่ง การเสนอคอนฟิเจอร์ชันในตำแหน่งที่เหลือเมื่อเทียบกับค่าเคมีคัลชิฟต์ของ plakinamine B (2; Rosser and Faulkner, 1984) คาดว่า สารทั้ง 2 ชนิดมีคอนฟิเจอร์ชันสัมพัทธ์ที่ตรงกัน

1.3.2. ฤทธิ์ทางชีวภาพ

จากการทดสอบฤทธิ์ยับยั้งการทำงานของเอนไซม์ AChE ของสาร 1 สามารถวิเคราะห์ค่า IC₅₀ ในการยับยั้งกิจกรรมของเอนไซม์ และค่าคงที่ทางจลนศาสตร์ของสาร 1 ได้แก่ค่า V_{max} และ K_m ได้ตามที่แสดงในตารางที่ 3

ผลของสาร 1 ต่อการทำงานของเอนไซม์ AChE เป็นการยับยั้งการทำงานของเอนไซม์ที่ไม่ขึ้นกับเวลา (ประสิทธิภาพการยับยั้งเอนไซม์คงที่เมื่อเวลาผ่านไปนานกว่า 60 นาที) ซึ่งแสดงให้เห็นว่า สาร 1 ยับยั้งเอนไซม์แบบผันกลับได้ และเมื่อวิเคราะห์จลนศาสตร์ของเอนไซม์โดยเปลี่ยนความเข้มข้นของสารยับยั้งพบว่า ค่า V_{max} ของเอนไซม์ลดลงในขณะที่ค่า K_m เพิ่มขึ้นเมื่อเพิ่มปริมาณของสาร 1 (ตารางที่ 3) แสดงว่าสารตัวอย่างยับยั้งเอนไซม์ด้วยกลไกการแย่งจับแบบผสม (mixed-competitive inhibition; ผลการยับยั้งร่วมกันระหว่าง non-competitive และ competitive inhibition)

ตารางที่ 3. ฤทธิ์การยับยั้งกิจกรรมของเอนไซม์ AChE ของสาร 1

จลนศาสตร์การยับยั้ง AChE	V_{max} (dmA.min ⁻¹)	K_m (μ M)	IC ₅₀ (μ M)
เมื่อไม่มีสารยับยั้งเอนไซม์	107.9 \pm 4.0	750.0 \pm 173.5	-
เมื่อมีสาร 1	47.8 \pm 0.3 ⁿ	3678.0 \pm 419.2 ⁿ	3.75 \pm 1.69
เมื่อมี galantamine	-	-	0.59 \pm 0.14

หมายเหตุ ⁿ เมื่อเพิ่มสาร 1 เป็น 7.0 μ M

สำหรับการทดสอบความเป็นพิษต่อเซลล์มะเร็ง ผลการทดสอบพบว่า สารตัวอย่างมีค่าเสมือนไม่มีฤทธิ์ยับยั้งการเจริญของเซลล์มะเร็งที่ใช้เป็นเป้าหมายในการทดสอบ (ค่าการยับยั้งการเจริญของเซลล์ต่ำกว่า 50% ที่ระดับความเข้มข้น 200 mg/mL ซึ่งเป็นความเข้มข้นสูงสุดที่ใช้ในการศึกษา)

ตอนที่ 2

อนุพันธ์สเตอรอยด์เปอร์ออกไซด์ที่มีฤทธิ์ต้านมาลาเรียจากฟองน้ำในสกุล *Ciocalapata*

2.1. บทนำ

มาลาเรียเป็นหนึ่งในโรคติดต่อเขตร้อนที่ก่อให้เกิดปัญหาทางด้านสาธารณสุขของประเทศ โดยเฉพาะอย่างยิ่ง ในกรณีของประเทศไทย ซึ่งเชื่อกันว่าโรคอันได้แก่ *Plasmodium falciparum* ที่พบชุกชุมในประเทศเป็นหนึ่งในสายพันธุ์ที่มีรายงานการดื้อยาสูงสุด ซึ่งทำให้การป้องกันและการรักษาโรคเป็นไปได้อย่างลำบาก ทั้งนี้ในปัจจุบัน ยาต้านมาลาเรียที่ใช้ในประเทศมี 2 กลุ่ม หลัก ได้แก่ ยาในกลุ่ม quinoline เช่น chloroquine และอนุพันธ์ และยากลุ่ม artemisinin และอนุพันธ์ อย่างไรก็ตาม ปัจจัยที่เกิดจากการดื้อยาของเชื้อมาลาเรียตามธรรมชาติ ซึ่งโดยมากเป็นผลที่เกิดจากการดื้อยาในกลุ่มอนุพันธ์ของ chloroquine ทำให้การคัดเลือกยาโดยบุคลากรทางการแพทย์เพื่อใช้ในการรักษามีข้อจำกัด และยังทำให้การกำหนดแผนการป้องกันโรคทำได้ยากยิ่งขึ้นด้วย (WHO, 2005; WHO, 2006)

อนุพันธ์กลุ่ม artemisinin ถือได้ว่าเป็นหนึ่งในตัวอย่างของยาที่ได้จากผลิตภัณฑ์ธรรมชาติที่ประสบความสำเร็จเป็นอย่างดีในการก้าวขึ้นมาจากการใช้ยาตามภูมิปัญญาของแพทย์แผนตะวันออก จนกระทั่งเปลี่ยนมาเป็นยาที่ใช้ในทางคลินิกอย่างแพร่หลาย ทั้งนี้ แหล่งที่มาและต้นกำเนิดของยาในกลุ่ม artemisinin ได้จากพืชสมุนไพรจีน คือ Qinghausu (*Artemisia annua*) และในปัจจุบัน อนุพันธ์ของ artemisinin หลายชนิดซึ่งได้รับการพัฒนาและดัดแปลงสูตรโครงสร้างเพื่อปรับปรุงการออกฤทธิ์ รวมถึงเพื่อปรับปรุงรูปแบบการใช้ยาได้อย่างเหมาะสม ได้ผ่านการรับรองให้ใช้ในทางคลินิกอย่างแพร่หลาย

ประเด็นที่น่าสนใจเกี่ยวกับอนุพันธ์ artemisinin นอกเหนือจากประวัติในการพัฒนายาดังกล่าว ยังรวมถึงกลไกการออกฤทธิ์ ซึ่งถือได้ว่าเป็นกลไกการออกฤทธิ์ใหม่ที่ทำให้อนุพันธ์กลุ่ม artemisinin ยังคงเป็นยาต้านมาลาเรียที่ใช้ได้ผลในระดับดี มีปัญหาที่เกิดจากการดื้อยาของเชื้อพลาสโมเดียมน้อย และยังเป็นยาตัวเลือกหลักในกรณีของการรักษาผู้ป่วยที่ติดเชื้อพลาสโมเดียมในสายพันธุ์ที่ดื้อต่อ chloroquine ได้เป็นอย่างดี ทั้งนี้ กลไกการออกฤทธิ์ของ artemisinin และอนุพันธ์เกิดผ่านการออกฤทธิ์เป็นตัวออกซิไดซ์ของหมู่ฟังก์ชันแบบเปอร์ออกไซด์ ซึ่งทำให้สามารถออกซิไดซ์อะตอมของเฟอร์รัสอันเป็นองค์ประกอบของฮีโมโกลบินในเม็ดเลือดให้อยู่ในสภาพที่เป็นพิษต่อเชื้อได้ ทั้งนี้ กลไกการออกฤทธิ์ดังกล่าว เป็นกลไกที่จำเพาะเจาะจงอย่างยิ่งต่อเชื้อพลาสโมเดียม แต่ไม่มีผลต่อการทำงานของเม็ดเลือดในมนุษย์ ซึ่งทำให้ยามี

ความเป็นพิษต่ำ และเนื่องจากยาออกฤทธิ์ต่ออีโมโกลบิน อันเป็นแหล่งพลังงานหลักของเชื้อในระยะที่มีกิจกรรมสูงขณะที่อยู่ในเม็ดเลือด จึงทำให้ยาในกลุ่มนี้เป็นยาที่มีประสิทธิภาพสูงในการกำจัดเชื้อออกจากร่างกายผู้ป่วย

ผลิตภัณฑ์ธรรมชาติทางทะเล เป็นอีกแหล่งหนึ่งที่มีการรายงานการค้นพบสารที่มีหมู่ฟังก์ชันแบบเปอร์ออกไซด์ โดยเฉพาะสารประกอบเทอร์ปีนอยด์และสเตอรอยด์ที่มีหมู่ฟังก์ชันแบบเปอร์ออกไซด์ในสัดส่วนที่สูง ตัวอย่างเช่น mycaperoxides จากฟองน้ำในสกุล *Mycale* ซึ่งเป็นอนุพันธ์ไดเทอร์ปีนที่มีรายงานฤทธิ์ความเป็นพิษต่อเซลล์ในระดับดี อนุพันธ์เปอร์ออกไซด์เหล่านี้ เป็นเป้าหมายที่ดีในการเป็นตัวอย่างในการศึกษาและพัฒนาสารจากผลิตภัณฑ์ธรรมชาติจากทะเล เพื่อนำมาใช้เป็นต้นแบบในการศึกษาผลของสูตรโครงสร้าง โดยเฉพาะส่วนของหมู่เปอร์ออกไซด์ที่พบในสารตัวอย่างประเภทอื่นๆ นอกเหนือจาก artemisinin ว่าสารเหล่านี้มีผลต่อการยับยั้งการเจริญของเชื้อมาลาเรียในรูปแบบและกลไกเช่นเดียวกันหรือไม่

จากการสำรวจตัวอย่างฟองน้ำและสัตว์ไม่มีกระดูกสันหลังในทะเลจากบริเวณรอบเกาะเต่า อ.เกาะพะงัน จ.สุราษฎร์ธานี ผู้วิจัยพบว่า สารสกัดหยาบด้วยเมธานอลจากฟองน้ำในสกุล *Ciocalapata* มีฤทธิ์ในการยับยั้งเชื้อพลาสโมเดียมโตในระดับดีมาก จึงได้คัดเลือกตัวอย่างฟองน้ำดังกล่าวมาศึกษาวิจัยเพื่อแยกสกัดสารที่มีฤทธิ์ทางชีวภาพจากฟองน้ำดังกล่าว ผลจากการแยกสกัด สามารถแยกสารในกลุ่มสเตอรอยด์เปอร์ออกไซด์ที่มีฤทธิ์ต้านมาลาเรีย ได้ 2 ชนิด คือ 5,9-*epi*-Dioxyergostan-3,8,17-triol (2) และ *epi*-ergosterol 5,8-peroxide (3) โดยสารตัวอย่าง 2 เป็นสารชนิดใหม่ที่แยกสกัดและพิสูจน์เอกลักษณ์ได้เป็นครั้งแรกในการวิจัยนี้ ส่วนสารตัวอย่าง 3 เป็นสารที่เคยมีการรายงานมาก่อนแล้ว แต่ยังไม่เคยมีการรายงานฤทธิ์ต้านมาลาเรียมาก่อน

2.2. การทดลองและระเบียบวิธีวิจัย

2.2.1. สภาวะการทดลองทั่วไป

สภาวะการทดลองทั่วไปที่ใช้ในการศึกษาวิจัยตามโครงการส่วนนี้ ทั้งในส่วนสารเคมีและเครื่องมือวิทยาศาสตร์ เป็นไปตามที่ได้ระบุมาแล้วในตอน 1 ข้างต้น

2.2.2. ตัวอย่างฟองน้ำ

ฟองน้ำสกุล *Ciocalapata* (วงศ์ Halichondridae) ที่ใช้ในการวิจัยนี้ เก็บสำรวจจากบริเวณรอบเกาะเต่า จ.สุราษฎร์ธานี (10° 07.6' เหนือ 99° 48.7' ตะวันออก) การพิสูจน์เอกลักษณ์ทางอนุกรมวิธาน

ดำเนินการโดย ดร.สมชัย บุศราวิช สถาบันวิจัยทรัพยากรทางทะเล ชายฝั่ง และป่าชายเลน จ.ภูเก็ต ตัวอย่างอ้างอิง (PMBC 24607) เก็บรักษาที่พิพิธภัณฑ์ของสถาบันวิจัยทรัพยากรทางทะเล ชายฝั่ง และป่าชายเลน จ.ภูเก็ต

2.2.3. การแยกสกัด

ขั้นตอนการแยกสกัดขั้นต้นในการศึกษาสารที่มีฤทธิ์ทางชีวภาพจากฟองน้ำ *Ciocalapata* เป็นไปตามที่ได้ระบุในการแยกสกัดสารจากตัวอย่างฟองน้ำ *Corticium* ในตอนที่ 1 ตัวอย่างฟองน้ำหลังจากทำแห้งโดยเทคนิคการแช่เยือกแข็ง หนัก 280 กรัม ให้สารสกัดตัวอย่างจากตัวทำละลายเฮกเซน ไดคลอโรมีเทน และเมทานอล หนัก 6.8 กรัม 6.2 กรัม และ 63 กรัม ตามลำดับ

การแยกสกัดสารสกัดจากตัวทำละลายเฮกเซนซึ่งเป็นสารสกัดที่มีความแรงในการออกฤทธิ์ต้านมาลาเรียสูงสุด ประกอบด้วยการแยกด้วยเทคนิคโครมาโตกราฟีต่างๆ ตามลำดับ ดังนี้; คอลัมน์ซิลิกาเจล (ตัวทำละลายเฮกเซน 100% และปรับความเป็นขี้ด้วยเพิ่มอัตราส่วนไดคลอโรมีเทนและเมทานอล จนเป็นตัวทำละลายเมทานอล 50% ในไดคลอโรมีเทน); เซฟาเด็กซ์ LH20 คอลัมน์ (50% เอธิลอะซีเตตในเฮกเซน); คอลัมน์ซิลิกาเจล (50% เอธิลอะซีเตตในเฮกเซน); คอลัมน์ซิลิกาเจล (เฮกเซน:เอธิลอะซีเตต:เตตราไฮโดรฟิวแรน 8:2:1); C-18 รีเวอร์สเฟสคอลัมน์ (2% น้ำในอะซิโตนไนโตรล์) และสามารถแยกสารตัวอย่าง 2 และ 3 ได้ในปริมาณ 3 และ 4 มิลลิกรัม ตามลำดับ

5,9-*epi*-Dioxyergostan-3,8,17-triol (2); $[\alpha]_D^{+15}$ (c 0.04, CHCl_3); UV (MeOH) λ_{max} (log ϵ) 244 (2.86) nm; IR (thin film) ν_{max} 3450, 2975, 1460 cm^{-1} ; ^1H และ ^{13}C NMR (C_6D_6 , 500 MHz สำหรับ ^1H) ดูตารางที่ 4; ESIMS m/z (relative intensity) 442 $[\text{M}-\text{H}_2\text{O}]^+$ (100); HR-ESIMS m/z 442.3085 (calcd for $\text{C}_{28}\text{H}_{42}\text{O}_4$ 442.3083).

5,8-*epi*-Dioxyergosterol (3); $[\alpha]_D^{-16}$ (c 0.12, CHCl_3); UV (MeOH) λ_{max} (log ϵ) 244 (2.68) nm; IR (thin film) ν_{max} 3500, 2975 cm^{-1} ; ^1H และ ^{13}C NMR (C_6D_6 , 500 MHz สำหรับ ^1H) ดูตารางที่ 5; ESIMS m/z (relative intensity) 442 $[\text{M}]^+$ (100).

2.2.6. การทดสอบฤทธิ์ทางชีวภาพ

การทดสอบความเป็นพิษต่อเซลล์มะเร็งเป็นเช่นเดียวกับที่ระบุในตอน 1

การทดสอบฤทธิ์ต้านมาลาเรีย ดำเนินการโดยขอใช้บริการจากหน่วยปฏิบัติการวิจัยกลาง ศูนย์พันธุวิศวกรรมและเทคโนโลยีชีวภาพแห่งชาติ ซึ่งทดสอบโดยใช้หลักการติดตามความสามารถในการใช้ hypoxanthine ของเชื้อและใช้เทคนิคกัมมันตรังสีในการตรวจวัด วิธีการทดสอบโดยย่อเป็นดังนี้; เชื้อมาลาเรียที่ใช้ในการทดลองเป็นเชื้อ *Plasmodium falciparum* สายพันธุ์ K1 เพาะเลี้ยงโดยใช้เม็ดเลือดแดงจากเลือดหมู A-บวก (5% hematocrit) และรักษาสภาพในตู้กลาง RPMI 1640 ที่มีพลาสมาจากเลือดหมู A-บวก (หยุดกิจกรรมในพลาสมาด้วยความร้อน) ความเข้มข้น 10%; สารละลาย HEPES 20 mM; และ 2 mM glutamine; เตรียมสารละลายตัวอย่างในตัวทำละลาย DMSO (ความเข้มข้นสุดท้ายของ DMSO ไม่เกิน 1%) กระจายให้ได้ความเข้มข้นที่ต้องการในตัวกลางเลี้ยงเชื้อตามระบุข้างต้น เจือจางสารละลายตัวอย่างนี้ลงครึ่งละเท่าตัว จนได้สารละลายตัวอย่างรวม 10 ความเข้มข้น (ความเข้มข้นสูงสุดที่ใช้ในการทดสอบ 10 $\mu\text{g/mL}$) เพาะเชื้อ *Plasmodium falciparum* ตามระบุข้างต้นลงในสารละลายตัวอย่างทดสอบทุกความเข้มข้น (ระดับการติดเชื้อในเม็ดเลือดแดงที่ 1-1.5% parasitaemia, 1% hematocrit ในสารละลายสุดท้าย) และเลี้ยงที่อุณหภูมิ 37 °C ในบรรยากาศ hypoxia (5% O₂ และ 5% CO₂) นาน 72 ชั่วโมง ติดตามการอยู่รอดของเชื้อผ่านการตรวจสอบอัตราการใช้ hypoxanthine ของเชื้อโดยตรวจวัด [³H]hypoxanthine ที่หายไปด้วยเทคนิคการตรวจกัมมันตรังสีของตรีเตรียม และเปรียบเทียบความแรงในการออกฤทธิ์โดยเทียบกับสารมาตรฐาน dihydroartemisinin (IC₅₀ 3.8 nM) (Desjardins et al, 1979)

2.3. ผลการทดลองและอภิปรายผลการทดลอง

จากผลการศึกษาวิจัยในระดับนำร่อง ผู้วิจัยพบว่าสารสกัดหยาบด้วยเมธานอลจากฟองน้ำชนิดหนึ่งซึ่งเก็บสำรวจได้จากบริเวณรอบเกาะเต่า อ.เกาะพะงัน จ.สุราษฎร์ธานี มีฤทธิ์ในการยับยั้งการเจริญของเชื้อ *Plasmodium falciparum* ได้ในระดับดี ผลการศึกษาวิจัย พบว่าตัวอย่างฟองน้ำดังกล่าวอยู่ในสกุล *Ciocalapata* ซึ่งเป็นกลุ่มของฟองน้ำที่ยังมีการศึกษาวิจัยองค์ประกอบทางเคมีไม่มากนัก จึงได้คัดเลือกตัวอย่างฟองน้ำดังกล่าวมาศึกษาวิจัยเพื่อแยกสกัดองค์ประกอบทางเคมีที่มีฤทธิ์ทางชีวภาพดังกล่าว โดยใช้เทคนิคทางโครมาโตกราฟีร่วมกับการติดตามผลการตรวจสอบฤทธิ์ต้านมาลาเรีย ซึ่งทำให้สามารถแยกสกัดอนุพันธ์ในกลุ่มสเตอรอยด์ออกไซด์ที่มีฤทธิ์ต้านมาลาเรียได้ 2 ชนิด สรุปผลการแยกสกัด การวิเคราะห์สูตรโครงสร้างทางเคมี และการศึกษาฤทธิ์ทางชีวภาพของสารตัวอย่างทั้ง 2 ชนิด เป็นดังต่อไปนี้

2.3.1. การแยกสกัดและการวิเคราะห์สูตรโครงสร้าง

จากการแยกสกัดสารสกัดหยาบจากตัวอย่างฟองน้ำ *Ciocalapata* sp. โดยตัวทำละลายต่างๆ ได้แก่ เฮกเซน ไดคลอโรมีเทน และเมทานอล พบว่า สารสกัดด้วยตัวทำละลายเฮกเซนมีฤทธิ์ต้านมาลาเรียในระดับดี (IC_{50} 0.05 $\mu\text{g/mL}$) และเมื่อนำสารสกัดหยาบดังกล่าวมาแยกสกัดโดยใช้เทคนิคทางโครมาโตกราฟี สามารถแยกสารตัวอย่างได้ 2 ชนิด ได้แก่ สารตัวอย่าง 2 และ 3 น้ำหนักสารตัวอย่างที่สกัดได้ 3 และ 4 มิลลิกรัม ตามลำดับ

สารตัวอย่าง 2 มีลักษณะเป็นของแข็งสีขาว มีสูตรโมเลกุลเป็น $C_{28}H_{44}O_5$ โดยประเมินได้จากสัญญาณโมเลกุลเสมือนในแมสสเปกตรัม (อิเล็กตรอนอิมแพคท์) ที่ m/z 442 ($[M-H_2O]^+$; $C_{28}H_{42}O_4$) ทั้งนี้ การวิเคราะห์มวลจากแมสสเปกตรัมความแม่นยำสูงในเทคนิคอิเล็กตรอนอิมแพคท์ที่ m/z 442.3085 (ค่าคำนวณสำหรับมวลของ $C_{28}H_{42}O_4$ เป็น 442.3083) ให้ผลการวิเคราะห์สูตรโมเลกุลตรงตามที่เสนอข้างต้น และทำให้สามารถคำนวณค่าสมมูลพันธะคู่ของสารตัวอย่างได้เป็น 7 ทั้งนี้ จากการวิเคราะห์สัญญาณในสเปกตรัม ^{13}C NMR สามารถระบุได้ว่าสารตัวอย่างมีพันธะคู่เพียง 2 พันธะ และสามารถสรุปได้ว่า ตัวอย่างมีระบวงแหวนรวมทั้งสิ้น 5 วง

นอกเหนือจากสัญญาณในสเปกตรัม IR ที่แถบการดูดกลืนแสงที่เลขคลื่น 3450 cm^{-1} ซึ่งเป็นสัญญาณของหมู่ไฮดรอกซิลแล้ว สารตัวอย่างไม่มีหมู่แทนที่ที่สามารถสังเกตเห็นได้โดยตรงจากสเปกตรัมดังกล่าว ข้อมูลดังกล่าวสอดคล้องกับการประเมินสัญญาณในสเปกตรัม NMR ทั้งจาก ^1H และ ^{13}C NMR ซึ่งแสดงให้เห็นว่าสารตัวอย่าง 2 น่าจะเป็นสารประกอบในกลุ่มสเตอรอยด์ จากการตรวจพบสัญญาณของหมู่เมทิลที่ตำแหน่ง 18 และ 19 ที่ δ_H 0.93 และ 1.06 และที่ δ_C 15.8 และ 15.6 ตามลำดับ ร่วมกับสัญญาณของหมู่เมทิลีนจำนวนมากซึ่งเป็นลักษณะเฉพาะตัวของโครงสร้างแกนแบบสเตอรอยด์ ในช่วง 1.5-2.3 ppm ของสเปกตรัม ^1H NMR

สัญญาณของหมู่ฟังก์ชันพื้นฐานของสารประกอบสเตอรอยด์ของสารตัวอย่าง 2 ที่สามารถตรวจพบในสเปกตรัม ^1H NMR ประกอบด้วยหมู่ไฮดรอกซิลที่ตำแหน่งที่ 3 และหมู่โอเลฟินที่ตำแหน่ง 6 และ 7 โดยสามารถสังเกตสัญญาณของหมู่ไฮดรอกซิลได้จากสัญญาณที่ δ 3.82 (br tt; $J = 11.0, 5.0\text{ Hz}$; H-3) ในสเปกตรัม ^1H NMR และที่ δ 65.9 (C-3) ในสเปกตรัม ^{13}C NMR และสัญญาณของหมู่โอเลฟินที่ δ 5.45 (d, J

= 9.6 Hz; H-7) และ 5.60 (d, $J = 9.6$ Hz; H-6) ในสเปกตรัม ^1H NMR และที่ δ 128.9 (C-7) และ 135.9 (C-6) ในสเปกตรัม ^{13}C NMR ตามลำดับ

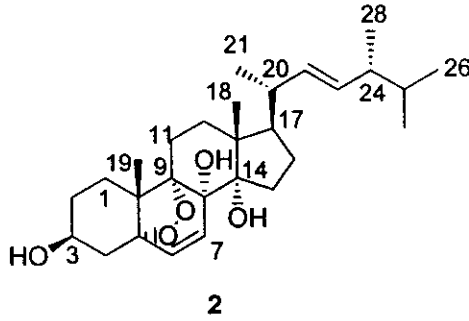
การติดตามการคัปปลิงของสัญญาณในสเปกตรัม HMBC จากตำแหน่ง 3, 6 และ 7 ทำให้สามารถระบุตำแหน่งของสัญญาณของคาร์บอนและโปรตอนตำแหน่ง 4, 5, 8 และ 9 ได้ โดยคาร์บอนของทั้ง 4 ตำแหน่งเรโซเนนซ์ที่ δ 36.1, 85.5, 64.1 และ 86.6 ตามลำดับ ประเด็นที่น่าสนใจคือ ค่าเคมีคัลชิฟต์ของสัญญาณของคาร์บอนตำแหน่ง 5 และ 9 ซึ่งตรวจพบที่ 85.5 และ 86.6 ppm อันเป็นค่าเคมีคัลชิฟต์เฉพาะตัวของหมู่แทนที่แบบเปอร์ออกไซด์ ซึ่งเรโซเนนซ์ในสนามต่ำกว่าสัญญาณของคาร์บอนที่ต่อกับออกซิเจนของหมู่ไฮดรอกซิลและอีเธอร์ไม่น้อยกว่า 5-10 ppm (เช่น เมื่อเทียบกับสัญญาณของคาร์บอนตำแหน่ง 3, 8 และ 14 ที่ δ 65.9, 64.1 และ 74.8 ตามลำดับ) สืบเนื่องมาจากอิทธิพลของออกซิเจนที่มีความหนาแน่นอิเล็กตรอนต่ำ (positive oxygen) ของหมู่เปอร์ออกไซด์ ดังนั้น จึงสามารถสรุปได้ว่า สารตัวอย่าง 2 น่าจะเป็นสารประกอบที่มีวงแหวนแบบไดออกซีแทนที่ระหว่างคาร์บอนตำแหน่ง 5 และ 9 ซึ่งสอดคล้องกับการวิเคราะห์ข้อมูลจากค่าสมมูลพันธะคู่ที่ระบุว่าสารตัวอย่างต้องมีระบบวงแหวน 5 วง และมากกว่าระบบวงแหวนของสารประกอบสเตอรอยด์ทั่วไป

นอกเหนือจากหมู่แทนที่ที่ระบุข้างต้น ข้อมูลจากสเปกตรัม NMR ระบุว่า สารตัวอย่าง 2 มีหมู่แทนที่อื่น อีก 3 หมู่ ได้แก่หมู่ไฮดรอกซิลที่ตำแหน่ง 8 และ 14 ซึ่งเป็นตำแหน่งของอัลกอฮอล์ตติยภูมิ (δ 64.1 และ 74.8 ตามลำดับ) และหมู่โอเลฟินที่ตำแหน่ง 22 และ 23 (δ 5.05, dd, $J = 15.1, 8.7$ Hz; และ 5.20, dd, $J = 15.1, 7.8$ Hz, ตามลำดับ) สำหรับการแทนที่ของหมู่เมธิลบนหมู่อัลคิลตอนปลายของสเตอรอยด์พบว่า การแทนที่ของหมู่เมธิลที่ด้านปลายของสารตัวอย่าง 2 เป็นลักษณะเฉพาะของโครงสร้างแกนแบบ ergostane โดยมีหมู่เมธิลแทนที่ด้านปลายรวม 4 หมู่ ได้แก่หมู่เมธิลที่ δ 0.87 (d, $J = 6.9$ Hz; H-27), 0.89 (d, $J = 6.9$ Hz; H-26), 0.93 (d, $J = 6.9$ Hz; H-21) และ 0.97 (d, $J = 6.8$ Hz; H-28) ตามลำดับ การประกอบหมู่แทนที่ตามระบุข้างต้นเข้ากับโครงสร้างแกนของสเตอรอยด์ และการกำหนดค่าเคมีคัลชิฟต์ของโปรตอนและคาร์บอนบนโครงสร้างแกนของสเตอรอยด์ในตำแหน่งอื่นๆ อาศัยการแปลผลจากสเปกตรัม COSY และ HMBC เป็นหลัก และทำให้สามารถยืนยันข้อเสนอสู่โครงสร้างของสารตัวอย่าง 2 ได้ว่าสารตัวอย่างดังกล่าวคือ 5,9-*epi*-dioxysteran-3,8,14-triol และเป็นอนุพันธ์ของ ergosterol ชนิดใหม่ ซึ่งมีลักษณะพิเศษคือ มีหมู่ไดออกซีแทนที่เป็นวงแหวนสะพานที่ตำแหน่ง 5 และ 9 และมีหมู่ไฮดรอกซิลแทนที่รวม 3 หมู่ ซึ่งมากกว่าสารประกอบสเตอรอยด์ทั่วไป (ข้อมูลสเปกตรัม NMR ของสารตัวอย่าง 2 สรุปในตารางที่ 4)

ตารางที่ 4. ค่าเคมีคัลซิฟต์ของโปรตอนและคาร์บอนของสาร 2 (C₆D₆; 500 MHz สำหรับโปรตอน)¹

position	¹ H (mult; J in Hz)	¹³ C (mult)
1	1.04 (br dt; 13.2, 3.2); 1.92 (br td; 13.2, 3.2)	27.9 (CH ₂)
2	1.25 (m); 1.62 (m)	31.2 (CH ₂)
3	3.82 (br tt; 11.0, 5.0)	65.9 (CH)
4	1.34 (m); 1.98 (ddd; 14.2, 5.0, 1.2)	36.1 (CH ₂)
5	-	85.5 (C)
6	5.60 (d; 9.6)	135.9 (CH)
7	5.45 (d; 9.6)	128.9 (CH)
8	-	64.1 (C)
9	-	86.6 (C)
10	-	50.5 (C)
11	1.42 (m); 1.64 (m)	20.1 (CH ₂)
12	1.40 (m); 1.62 (m)	33.8 (CH ₂)
13	-	40.4 (C)
14	-	74.8 (C)
15	1.80 (m); 1.28 (m)	27.6 (CH ₂)
16	1.50 (m); 1.58 (m)	26.6 (CH ₂)
17	1.32 (m)	55.5 (CH)
18	0.93 (s; 3H)	15.8 (CH ₃)
19	1.06 (s; 3H)	15.6 (CH ₃)
20	2.02 (br q; 8.2)	39.6 (CH)
21	0.93 (d; 6.9, 3H)	21.1 (CH ₃)
22	5.05 (dd; 15.1, 8.7)	135.4 (CH)
23	5.20 (dd; 15.1, 7.8)	132.6 (CH)
24	1.87 (m)	43.1 (CH)
25	1.47 (m)	33.3 (CH)
26	0.89 (d; 6.9, 3H)	19.9 (CH ₃)
27	0.87 (d; 6.9, 3H)	20.2 (CH ₃)
28	0.97 (d; 6.8, 3H)	17.8 (CH ₃)

หมายเหตุ ¹ หากไม่มีการระบุอื่นใด สัญญาณที่แสดงเทียบเท่ากับ 1 โปรตอนหรือ 1 คาร์บอนตามกำหนด



การศึกษาคอนฟิวกูเรชันของสารตัวอย่าง 2 ประกอบด้วยการวิเคราะห์คอนฟิวกูเรชันสัมพันธ์ของโครงสร้างแกนสเตอรอยด์ และการวิเคราะห์ตำแหน่งการวางตัวของสะพานวงแหวนไดออกซี ทั้งนี้ ในกรณีของคอนฟิวกูเรชันสัมพันธ์ของโครงสร้างแกนสเตอรอยด์ อาศัยการวิเคราะห์ค่าเคมีคัลชิฟต์ของหมู่เมทิล (C-18 และ C-19) ทั้งนี้ ค่าเคมีคัลชิฟต์ของคาร์บอนทั้ง 2 ตำแหน่งเป็นค่าเคมีคัลชิฟต์เฉพาะตัวของหมู่เมทิลในตำแหน่งแอกเซียลบนวงแหวนสเตอรอยด์ (δ 15.6, C-19 และ δ 15.9, C-18; ดูรายละเอียดเพิ่มเติมในส่วนการวิเคราะห์คอนฟิวกูเรชันของสารตัวอย่าง 1 ในรายงานตอนที่ 1) คอนฟิวกูเรชันของวงแหวนสเตอรอยด์ที่เป็นไปได้เพื่อให้หมู่แทนที่ทั้ง 2 ตำแหน่งวางอยู่ในตำแหน่งแอกเซียลจึงควรเป็นแบบ *trans* ต่อเนื่องกันทั้ง 4 วง นอกจากนี้ เพื่อให้การเรียงตัวของวงแหวนสเตอรอยด์แบบ *trans* ในทุกตำแหน่งสามารถเป็นไปได้ การวางตัวของหมู่ไฮดรอกซิลที่ตำแหน่ง 8 และ 14 จะต้องเป็นแบบแบบแอกเซียลเช่นเดียวกับหมู่เมทิลทั้ง 2 หมู่ที่ได้วิเคราะห์แล้วข้างต้น

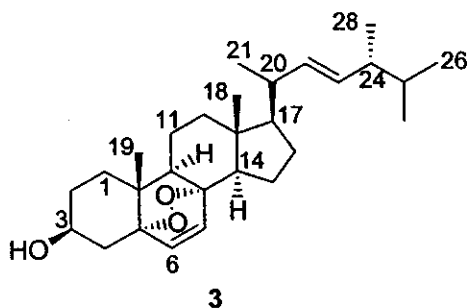
สำหรับการวิเคราะห์คอนฟิวกูเรชันของหมู่ไดออกซี อาศัยการวิเคราะห์สเปกตรัมผลต่างจากการทดลองแบบ NOE-DS ซึ่งช่วยให้สามารถสรุปได้ว่า หมู่ไดออกซีวางอยู่ได้ระนาบของวงแหวนสเตอรอยด์ หรือวางตัวแบบ α และสัมพันธ์กับการวางตัวของหมู่ไดออกซีของ *epi-ergosterol peroxide* ซึ่งเป็นสารที่มีการรายงานมาแล้ว (โปรดดูการรายงานและการเปรียบเทียบคอนฟิวกูเรชันระหว่างข้อมูลของสารตัวอย่าง 3 และข้อมูลจากการตีพิมพ์)

สำหรับคอนฟิวกูเรชันในตำแหน่งอื่นๆ ของสูตรโครงสร้างของสารตัวอย่าง 2 เป็นไปภายใต้ข้อสมมติฐานว่า สารตัวอย่าง 2 และ 3 เป็นอนุพันธ์ของ ergosterol ซึ่งแยกสกัดได้จากสิ่งมีชีวิตชนิดเดียวกัน ดังนั้น คอนฟิวกูเรชันโดยรวมของตำแหน่งอื่นๆ ควรเป็นไปในทิศทางเดียวกัน ซึ่งทำให้สามารถเสนอคอนฟิวกูเรชันของสารตัวอย่าง 2 โดยอ้างอิงกับการวิเคราะห์ข้อมูลของสารตัวอย่าง 3 เทียบกับข้อมูลที่มีการรายงานมาแล้วของสารดังกล่าว (โปรดดูรายละเอียดการวิเคราะห์คอนฟิวกูเรชันของสารตัวอย่าง 3 ในหน้า

ถัดไป) สูตรโครงสร้างที่แสดงคอนฟิกิวเรชันของคาร์บอนอสมมาตรของสารตัวอย่าง 2 เป็นตามที่แสดงมาแล้วข้างต้น

สารตัวอย่าง 3 เป็นของแข็งสีขาว และแยกได้พร้อมกันในขั้นตอนการสกัดสารตัวอย่าง 2 สูตรโมเลกุลของสาร 3 ที่ได้จากการวิเคราะห์แมสสเปกตรัมในเทคนิคอิเล็กตรอนอิมแพคท์ เป็น $C_{28}H_{44}O_3$ ซึ่งสัมพันธ์กับสัญญาณมวลโมเลกุลที่ 428 (M^+) ทั้งนี้ เมื่อเปรียบเทียบข้อมูลจากสเปกตรัม NMR ของสารตัวอย่าง 2 และ 3 จะเห็นได้ว่าสารตัวอย่างทั้ง 2 ชนิดมีสเปกตรัมที่ตรงกันเกือบทุกประการ หรือสามารถเสนอได้ว่า สารทั้ง 2 ชนิดน่าจะเป็นอนุพันธ์ซึ่งกันและกัน

สูตรโครงสร้างส่วนที่แตกต่างกันระหว่างสารตัวอย่าง 2 และ 3 สังเกตได้จากสูตรโมเลกุลของสาร 3 ซึ่งมีจำนวนออกซิเจนน้อยกว่าสาร 2 อะตอม ข้อมูลดังกล่าวสอดคล้องกับข้อมูลจากสเปกตรัม ^{13}C NMR ของสาร 3 ซึ่งมีสัญญาณของคาร์บอนที่เรโซแนนซ์ในย่านของคาร์บอนที่ต่อกับอะตอมที่มีค่าอิเล็กโตรเนกาติวิตีสูงเพียง 3 สัญญาณ ได้แก่สัญญาณที่ δ 66.2 (C-3), 78.8 (C-8) และ 81.6 (C-5) ทั้งนี้ เนื่องจากค่าเคมีคัลชิฟต์เฉพาะตัวของของคาร์บอนที่ต่อกับหมู่ไดออกซีซึ่งเรโซแนนซ์ที่สนามต่ำ หรือที่ 78.8 และ 81.6 ppm ยังคงเป็นสัญญาณที่สามารถสังเกตชัดเจน ข้อมูลตามที่สรุปข้างต้นจึงช่วยให้สามารถเสนอได้ว่า สารตัวอย่าง 3 มีหมู่ไฮดรอกซิลน้อยกว่าสารตัวอย่าง 2 รวม 2 หมู่ นอกจากนั้น เมื่อวิเคราะห์สัญญาณเรโซแนนซ์จากสเปกตรัม HMBC พบว่าสะพานไดออกซีของสาร 3 แทนที่ที่ตำแหน่ง 5 และ 8 ซึ่งต่างจากตำแหน่ง 5 และ 9 ตามที่เสนอในกรณีของสาร 2 ดังนั้น จึงสรุปและเสนอสูตรโครงสร้างของสารตัวอย่าง 3 ได้เป็น *epi-ergosterol* 5,8-peroxide ตามที่แสดง (ดูสรุปข้อมูลสเปกตรัม NMR ในตารางที่ 5) ทั้งนี้ ข้อมูลสเปกตรัมของสารตัวอย่าง 3 ตรงกับข้อมูลของ *epi-ergosterol* peroxide ตามที่ได้มีการรายงานมาก่อนหน้านี้แล้ว (Gunatilaka et al, 1981; Yu et al, 2006)



ตารางที่ 5. ค่าเคมีคัลชิฟต์ของโปรตอนและคาร์บอนของสาร 3 (C₆D₆; 500 MHz สำหรับโปรตอน)ⁿ

position	¹ H (mult; J in Hz)	¹³ C (mult)
1	2.06 (br td; 13.8, 3.2); 1.48 (m)	35.1 (CH ₂)
2	1.66 (m); 1.43 (m)	30.5 (CH ₂)
3	3.90 (br tt; 11.0, 5.5)	68.2 (CH)
4	2.03 (ddd, 13.8, 5.0, 1.4); 1.70 (m)	37.4 (CH ₂)
5	-	81.6 (C)
6	5.94 (d; 8.7)	135.7 (CH)
7	6.28 (d; 8.7)	130.7 (CH)
8	-	78.8 (C)
9	1.51 (m)	51.7 (CH)
10	-	37.2 (C)
11	1.62 (m); 1.22 (m)	23.6 (CH ₂)
12	1.73 (m); 0.92 (ddd; 13.8, 6.4, 2.7)	39.6 (CH ₂)
13	-	44.4 (C)
14	1.54 (m)	52.0 (CH)
15	1.75 (m); 1.32 (m)	21.6 (CH ₂)
16	1.38 (m); 1.23 (m)	28.9 (CH ₂)
17	0.98 (m)	56.2 (CH)
18	0.59 (s, 3H)	12.9 (CH ₃)
19	0.66 (s, 3H)	18.2 (CH ₃)
20	1.93 (br qd; 6.9, 2.3)	40.1 (CH)
21	0.99 (d; 6.9, 3H)	21.1 (CH ₃)
22	5.12 (dd; 15.2, 9.2)	135.8 (CH)
23	5.24 (dd; 15.2, 7.7)	132.2 (CH)
24	1.88 (br sextet; 6.8)	43.8 (CH)
25	1.47 (m)	33.4 (CH)
26	0.89 (d; 6.8, 3H)	20.2 (CH ₃)
27	0.88 (d; 6.9, 3H)	19.8 (CH ₃)
28	0.97 (d; 6.9, 3H)	17.6 (CH ₃)

หมายเหตุ ⁿ หากไม่มีการระบุอินโด สัญญาณที่แสดงเทียบเท่ากับ 1 โปรตอนหรือ 1 คาร์บอนตามกำหนด

การวิเคราะห์คอนฟิวกูเรชั่นของสารตัวอย่าง 3 อาศัยการเปรียบเทียบค่าการหมุนระนาบแสงของสารตัวอย่าง 3 กับข้อมูลตามที่ได้รายงานมาแล้วเช่นกัน (ค่าตามรายงานอยู่ในช่วง $-25 - 26^\circ$, CHCl_3 ; Gunatilaka et al, 1981; Nam et al, 2001) คอนฟิวกูเรชั่นของคาร์บอนอสสมมาตรของสาร 3 เป็นตามที่แสดงข้างต้น อนึ่ง ตามข้อเสนอในส่วนการวิเคราะห์คอนฟิวกูเรชั่นของสาร 2 เนื่องจากสารทั้ง 2 ชนิดเป็นอนุพันธ์ที่พบในสิ่งมีชีวิตเดียวกัน และแยกสกัดได้จากส่วนสกัดที่ต่อเนื่องกัน การวิเคราะห์คอนฟิวกูเรชั่น ของสาร 2 และ 3 จึงสรุปได้ว่า สารทั้ง 2 ชนิดมีคอนฟิวกูเรชั่นโดยรวมที่สอดคล้องและสัมพันธ์กัน

2.3.2. ฤทธิ์ทางชีวภาพ

การแยกสกัดสารตัวอย่าง 2 และ 3 ตามที่ได้เสนอในข้อ 2.3.1 ข้างต้น ใช้การทดสอบฤทธิ์ต้านมาลาเรียเพื่อการติดตามสารตัวอย่างที่ออกฤทธิ์ดังกล่าว ในส่วนการทดสอบฤทธิ์ทางชีวภาพของสารตัวอย่างที่สกัดได้ นอกเหนือจากการทดสอบฤทธิ์ต้านมาลาเรียเพื่อยืนยันผลการแยกสกัดและติดตามความแรงในการออกฤทธิ์แล้ว ยังได้ทดสอบฤทธิ์ความเป็นพิษต่อเซลล์ประกอบด้วย ผลการทดสอบฤทธิ์ต้านมาลาเรียของของสารตัวอย่าง 2 และ 3 มีค่า IC_{50} เป็น 7.1 และ 6.3 μM ตามลำดับ ส่วนผลการทดสอบฤทธิ์ความเป็นพิษต่อเซลล์ สารตัวอย่างทั้ง 2 ชนิดไม่แสดงฤทธิ์ความเป็นพิษต่อเซลล์ที่ระดับความเข้มข้นสูงสุดที่ใช้ในการศึกษา (200 mg/mL)

ผลการทดสอบแสดงให้เห็นว่า สารตัวอย่าง 2 และ 3 มีฤทธิ์ต้านมาลาเรียในระดับดี อย่างไรก็ตามเมื่อเปรียบเทียบกับฤทธิ์ต้านมาลาเรียของสารสกัดหยาบจากตัวทำละลายเฮกเซน (IC_{50} ของสารสกัดด้วยตัวทำละลายเฮกเซน 0.05 $\mu\text{g}/\text{mL}$) จะเห็นได้ว่า สารตัวอย่างทั้ง 2 ชนิดมีฤทธิ์ทางชีวภาพน้อยกว่าฤทธิ์ทางชีวภาพของสารสกัดหยาบประมาณ 10^2 เท่า นั่นคือ สารตัวอย่างที่ได้ทั้ง 2 ชนิดไม่ใช่องค์ประกอบหลักที่แสดงฤทธิ์ของสารสกัดหยาบขั้นต้น ดังนั้น การศึกษาวิจัยเพิ่มเติมน่าจะสามารถทำให้แยกสกัดสารที่มีฤทธิ์ทางชีวภาพที่มีความแรงในการออกฤทธิ์ที่ดีและสอดคล้องกับผลการศึกษาฤทธิ์ทางชีวภาพจากสารสกัดหยาบได้ในที่สุด

ตอนที่ 3

กรดเดโมสปอนจิกจากฟองน้ำในสกุล *Hemigellius*

3.1. บทนำ

กรดไขมันไม่อิ่มตัวแบบ $\Delta^{5,9}$ (ตำแหน่งหมู่โอเลฟินแทนที่ที่คาร์บอน 5 และ 9) เป็นกรดไขมันที่พบได้น้อยในธรรมชาติ และมีการกระจายตัวอย่างจำเพาะเจาะจงเฉพาะในสัตว์ไม่มีกระดูกสันหลังกลุ่มฟองน้ำจากชั้น Demospongiae เท่านั้น อันเป็นที่มาของชื่อกรดไขมันแบบกรดเดโมสปอนจิก (demospongiic acids) ทั้งนี้ ลักษณะพิเศษที่ทำให้กรดไขมันไม่อิ่มตัวแบบ $\Delta^{5,9}$ แตกต่างจากกรดไขมันไม่อิ่มตัวกลุ่มอื่นๆ คือ ลำดับของหมู่โอเลฟินซึ่งเป็นแบบ 5Z,9Z และในกรณีที่มีสูตรโครงสร้างมีหมู่โอเลฟินแทนที่มากกว่า 2 หมู่ (เช่นในกรณีของกรดไขมันแบบไตรโอโนอิก และเตตราโอโนอิก) หมู่โอเลฟินที่เพิ่มขึ้นทั้งหมดจะเป็นโอเลฟินที่มีคอนฟิกรูเรชันแบบ Z ซึ่งเรียงตัวเพิ่มจากปลายคาร์บอกซิลไปหาปลายเมทิล และวางตัวสลับด้วยสะพานเอธิลีนเสมอ ในขณะที่กรดไขมันไม่อิ่มตัวที่พบในพืชชั้นสูงและสัตว์ในไฟลัมอื่นๆ ส่วนใหญ่จะมีตำแหน่งที่เริ่มการแทนที่หมู่โอเลฟินจากปลายด้านเมทิลไปหาปลายคาร์บอกซิล และในกรณีที่มีหมู่โอเลฟินมากกว่า 1 หมู่ การวางลำดับหมู่โอเลฟินจะสลับด้วยสะพานเมธิลีน (Carballeira and Reyes, 1990; Carballeira and Negrón, 1991; Carballeira et al, 1993; Joh et al, 1997; Makarieva et al, 2002; Barnathan et al, 2003; Nechev et al, 2004)

ลักษณะพิเศษอีกประการของกรดเดโมสปอนจิกคือ ความยาวของสายโซ่อัลคิลซึ่งมีรายงานในช่วงตั้งแต่ 16 ถึง 34 คาร์บอน อันถือได้ว่าเป็นช่วงของกรดไขมันที่ขนาดค่อนข้างใหญ่เมื่อเทียบกับกรดไขมันที่ได้จากแหล่งที่มาในธรรมชาติทั่วไป ทั้งนี้ เว้นแต่ในกรณีของกรดไขมันในกลุ่มกรดมัคโคลิก ซึ่งเป็นกรดไขมันที่พบเป็นองค์ประกอบของผนังเซลล์ของแบคทีเรียในกลุ่มมัคโคแบคทีเรีย และมีขนาดความยาวของสายโซ่อัลคิลในช่วง 40-60 คาร์บอนแล้ว ถือได้ว่ากรดไขมันกลุ่มกรดเดโมสปอนจิกเป็นกรดไขมันจากสิ่งมีชีวิตกลุ่มเมตาซัวที่ขนาดใหญ่ที่สุดที่พบในธรรมชาติ

จากการศึกษาองค์ประกอบทางเคมีในขั้นต้นของสารสกัดหยาบจากฟองน้ำในสกุล *Hemigellius* ซึ่งเก็บสำรวจได้จากแนวกองหินโลซิน นอกชายฝั่งจ.นราธิวาส-ปัตตานี ผู้วิจัยสามารถตรวจพบสัญญาณของกรดไขมันในกลุ่มกรดเดโมสปอนจิกจากสเปกตรัม NMR ของสารสกัดหยาบดังกล่าว จึงได้คัดเลือกฟองน้ำ

ดังกล่าวมาศึกษาวิจัยเพื่อแยกสกัดองค์ประกอบทางเคมีที่น่าสนใจเพิ่มเติม และทำให้สามารถแยกสกัดกรดไขมันในกลุ่มกรดเตโมสปอนจิกชนิดใหม่จากตัวอย่างฟองน้ำดังกล่าวได้ 1 ชนิด

3.2. การทดลองและระเบียบวิธีวิจัย

3.2.1. สภาวะการทดลองทั่วไป

สภาวะการทดลองทั่วไปที่ใช้ในการศึกษาวิจัยตามโครงการส่วนนี้ ทั้งในส่วนสารเคมีและเครื่องมือวิทยาศาสตร์ เป็นไปตามที่ได้ระบุมาแล้วในตอนต้นที่ 1 ข้างต้น

3.2.2. ตัวอย่างฟองน้ำ

ฟองน้ำสกุล *Hemigellius* (วงศ์ Niphatidae) ที่ใช้ในการวิจัยนี้ เก็บสำรวจากบริเวณกองหินโลซิน นอกชายฝั่ง จ.นราธิวาสและปัตตานี เมื่อเดือนกันยายน พ.ศ.2545 การพิสูจน์เอกลักษณ์ทางอนุกรมวิธานดำเนินการโดย ดร.สมชัย บุศราวิช สถาบันวิจัยทรัพยากรทางทะเล ชายฝั่ง และป่าชายเลน จ.ภูเก็ต ตัวอย่างอ้างอิง (PMBC 21338) เก็บรักษาที่พิพิธภัณฑ์ของสถาบันวิจัยทรัพยากรทางทะเล ชายฝั่ง และป่าชายเลน จ.ภูเก็ต

3.2.3. การแยกสกัด

ขั้นตอนการแยกสกัดขั้นต้นในการศึกษาสารที่มีฤทธิ์ทางชีวภาพจากฟองน้ำ *Hemigellius* เป็นไปตามที่ได้ระบุในการแยกสกัดสารจากตัวอย่างฟองน้ำ *Corticium* ในตอนที่ 1 ตัวอย่างฟองน้ำหลังจากทำแห้งโดยเทคนิคการแช่เยือกแข็งหนัก 250 กรัม ให้สารสกัดตัวอย่างจากตัวทำละลายเฮกเซน ไดคลอโรมีเทน และเมทานอลหนัก 4.5 กรัม 3.4 กรัม และ 14 กรัม ตามลำดับ สารสกัดหยาบจากตัวทำละลายไดคลอโรมีเทนเป็นส่วนที่มีสัญญาณของกรดเตโมสปอนจิกเป็นองค์ประกอบ การแยกสกัดส่วนสกัดดังกล่าว ใช้เทคนิคโครมาโตกราฟีดังนี้; คอลัมน์ Sephadex LH20 ชะด้วยเมทานอล; คอลัมน์รีเวิร์สเฟส (C-18) ชะด้วยตัวทำละลายผสม น้ำ:อะซีโตนในไตรล:เมทานอล (1:9:90); คอลัมน์ซิลิกาเจล ชะด้วยตัวทำละลายผสม อะซีโตน (15%) ในเฮกเซน; และโครมาโตกราฟีผิวบางบนซิลิกาเจล ชะด้วยตัวทำละลายเอธิลอะซีเตต (25%) ในเฮกเซน ซึ่งทำให้สามารถแยกสารตัวอย่าง 4 ได้ในปริมาณ 7 มิลลิกรัม

(5Z,9Z)-Nonatriacontadienoic acid (4). UV (MeOH) λ_{\max} (log E) 233 (2.74) nm; IR (thin film) ν_{\max} 3400-2400, 1720, 1620 cm^{-1} ; ^1H และ ^{13}C NMR (C_6D_6 , 500 MHz สำหรับ ^1H), ดูตาราง 6; NCI-MS m/z

575 [M+H]⁺ (100), 434 (82), 432 (99), 420 (78), 418 (94); HR-NICI-MS *m/z* 575.5797 [M+H]⁺ (calcd for C₃₉H₇₅O₂, 575.57705).

3.2.4. การทดสอบฤทธิ์ทางชีวภาพ

การทดสอบฤทธิ์ความเป็นพิษต่อเซลล์มะเร็ง ทดสอบโดยใช้วิธี sulphorhodamine B assay (Skehan et al, 1990) เช่นเดียวกับที่ได้บรรยายไปแล้วในตอนต้นที่ 1 ข้างต้น

3.3. ผลการทดลองและอภิปรายผลการทดลอง

จากผลการศึกษาวิจัยในระดับนำร่อง ผู้วิจัยเลือกใช้เทคนิคการคัดเลือกสารสกัดตัวอย่างของฟองน้ำจากสกุล *Hemigellius* ซึ่งมีสัญญาณในสเปกตรัม NMR ที่น่าสนใจ ผลการสกัดแยกและวิเคราะห์สูตรโครงสร้างเป็นดังต่อไปนี้

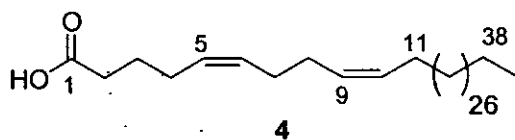
3.3.1. การแยกสกัดและการวิเคราะห์สูตรโครงสร้าง

สารตัวอย่าง 4 ซึ่งแยกได้จากสารสกัดหยาบจากตัวทำละลายไดคลอโรมีเทนของฟองน้ำ *Hemigellius* sp. มีลักษณะเป็นของแข็งสีขาว น้ำหนักที่แยกได้เท่ากับ 7 มิลลิกรัม มีมวลโมเลกุลที่สามารถสรุปข้อมูลได้จากแมสสเปกตรัมในเทคนิคเคมีคัลอิออไนเซชันแบบประจุลบเท่ากับ 574 หน่วยมวล (ตรวจพบสัญญาณที่ *m/z* 575 เทียบเท่ากับสัญญาณของ [M+H]⁺) และสามารถสรุปสูตรโมเลกุลที่เป็นไปได้เป็น C₃₉H₇₄O₂ สูตรโมเลกุลดังกล่าวสอดคล้องกับผลการวิเคราะห์แมสสเปกตรัมความแม่นยำสูงในเทคนิคเคมีคัลอิออไนเซชันแบบประจุลบที่ *m/z* 575.5797 (ผลคำนวณมวลของ C₃₉H₇₅O₂, [M+H]⁺ ได้เป็น 575.57705)

สูตรโมเลกุลตามที่เสนอข้างต้น ให้ผลคำนวณสมมูลพันธะคู่เป็น 3 ซึ่งสอดคล้องกับข้อมูลจากสเปกตรัม IR ซึ่งแสดงสัญญาณการดูดกลืนแสงเฉพาะตัวของหมู่ฟังก์ชันหลักเพียง 2 กลุ่มคือ หมู่คาร์บอกซิลที่ 2400-3400 cm⁻¹ (ร่วมกับสัญญาณหมู่คาร์บอนิลของกรดคาร์บอกซิลิกที่ 1720 cm⁻¹) และหมู่โอเลฟินที่ 1620 cm⁻¹ ข้อมูลดังกล่าวร่วมกับข้อมูลจากสเปกตรัม ¹³C NMR ทำให้สรุปได้ว่า สารตัวอย่างมีหมู่คาร์บอกซิลิก 1 หมู่ และหมู่โอเลฟิน 2 หมู่

จากสเปกตรัม ¹H NMR ของสารตัวอย่าง 4 สามารถสังเกตลักษณะเฉพาะของสัญญาณของกรดไขมัน อันได้แก่ สัญญาณของโปรตอนเมธิลีนจำนวนมากซึ่งเรโซเนตในย่าน δ 1.25-1.40 และสัญญาณของหมู่เมทิลที่ปลายโครงสร้างซึ่งเรโซเนตที่ δ 0.90 (3H; t, *J* = 7.3 Hz; H-39) สัญญาณหมู่ฟังก์ชันหลักนอกเหนือจากโครงสร้างส่วนของสายโซ่อัลคิลดังกล่าว ได้แก่สัญญาณของหมู่โอเลฟินรวม 4 โปรตอน ได้แก่

สัญญาณเรโซแนนซ์ที่ δ 5.27 (dt, $J = 10.7, 7.3, 1.5$ Hz; H-5), 5.44 (dt, $J = 10.7, 7.3, 1.5$ Hz; H-6) และ 5.48 (2H; m; H-9 และ H-10) สัญญาณหมู่โอเลฟินดังกล่าวต่อเนื่องถึงกันโดยผ่านการวิเคราะห์สเปกตรัม HMBC และทำให้สามารถกำหนดตำแหน่งของหมู่โอเลฟินทั้ง 2 หมู่ได้เป็นแบบ $\Delta^{5,9}$ สะพานโพธิ์ลินในตำแหน่ง 2-4 ประกอบด้วยสัญญาณเรโซแนนซ์ที่ δ 2.09 (2H; m; H-2), 1.53 (2H; quintet, $J = 7.3$ Hz; H-3) และ 1.91 (2H; br q, $J = 7.3$ Hz; H-4) ซึ่งต่อสัญญาณจากโปรตอนตำแหน่งที่ 5 ไปยังคาร์บอนของหมู่คาร์บอกซิลิกที่ δ 179.5 (C-1) ส่วนสะพานเอธิลีนระหว่างหมู่โอเลฟินทั้ง 2 หมู่ประกอบด้วยสัญญาณเรโซแนนซ์ที่ δ 27.5; 2C (C-7 และ C-8) ทั้งนี้ ไม่สามารถแยกสัญญาณของโปรตอนออกจากสัญญาณเมธิลีนอื่นๆ ในย่าน 1.2-1.4 ppm ได้ จากการวิเคราะห์ข้อมูลทางสเปกโตรสโกปีข้างต้น ช่วยให้เสนอสูตรโครงสร้างของสาร 4 ได้เป็น (5Z,9Z)-Nonatriacontadienoic acid ตามที่แสดงข้างล่างนี้ ทั้งนี้ จากสูตรโครงสร้างของสาร 4 ตามที่เสนอ สามารถสรุปได้ว่าสารตัวอย่าง 4 เป็นกรดไขมันชนิดใหม่ในกลุ่มกรดเตโมสปอนจิกซึ่งยังไม่มีรายงานมาก่อน (ค่าเคมีคัลชิฟต์ในสเปกตรัม NMR ของสาร 4 สรุปในตารางที่ 6)



ประเด็นที่น่าสนใจเกี่ยวกับสารตัวอย่าง 4 คือข้อมูลจากแมสสเปกตรัม ซึ่งไม่เป็นไปตามรูปแบบที่ควรได้จากการตรวจวัดมวลโมเลกุลโดยใช้เทคนิคเคมีคัลอือออโนเซชันแบบประจุลบ ทั้งนี้ ในกรณีที่สารตัวอย่างเป็นกรดไขมันที่มีสูตรโมเลกุลเป็น $C_{39}H_{74}O_2$ สัญญาณมวลโมเลกุลเสมือนที่ควรตรวจพบในแมสสเปกตรัมดังกล่าว ควรเป็นสัญญาณของ $[M-H]^-$ ที่ m/z 573 แต่ในทางตรงข้าม สัญญาณที่ตรวจพบในกรณีของสารตัวอย่าง 4 เป็นสัญญาณที่ m/z 575 ซึ่งเป็นสัญญาณของ $[M+H]^+$ อย่างไรก็ตาม มวลโมเลกุลเสมือนของสารตัวอย่าง 4 ที่ยืนยันได้จากแมสสเปกตรัมความแม่นยำสูงระบุว่ามวลโมเลกุลที่เสนอเป็นสัญญาณของสารตัวอย่างตรงตามที่เสนอจริง ทั้งนี้ สำหรับสัญญาณของสารตัวอย่างที่ m/z 575 ตามที่สังเกตได้ในที่นี้ ผู้วิจัยเสนอว่าควรเป็นสัญญาณของสารตัวอย่างที่ถูกรีดิวซ์ที่ตำแหน่งของหมู่โอเลฟิน ทำให้ได้อนุพันธ์ที่มีไฮโดรเจนเพิ่มขึ้น 2 อะตอม อันจะให้สัญญาณของมวลที่เสียโปรตอนหลังจากทดลองในเทคนิคประจุลบดังกล่าวมีค่าเท่ากับ 575 หน่วยมวลตามที่ได้รายงานไปแล้ว ปัจจัยจากเทคนิคในการก่อประจุเริ่มต้นโดยใช้มีเทนเป็นสารสร้างประจุ ที่อุณหภูมิการสร้างประจุที่ 150 °C และความต่างศักย์ที่ 100.0 อิเล็กตรอนโวลท์

เป็นปัจจัยที่มีการรายงานว่า สามารถเร่งให้เกิดปฏิกิริยารีดักชันในระหว่างกระบวนการสร้างประจุภายในระบบของเครื่องสเปกโตรมิเตอร์ได้ดีขึ้นด้วย (Vairamani et al, 1990; Murty et al, 2005)

ตารางที่ 6. ค่าเคมีคัลลิสต์ของโปรตอนและคาร์บอนของสาร 4 (C₆D₆; 500 MHz สำหรับโปรตอน)

position	¹ H (mult; J in Hz)	¹³ C (mult)
1	-	179.5, C
2	2.09 (m)	33.1, CH ₂
3	1.53 (quint, 7.3)	24.6, CH ₂
4	1.91 (br q, 7.3)	26.5, CH ₂
5	5.27 (dtt, 10.7, 7.3, 1.5)	128.9, CH
6	5.44 (dtt, 10.7, 7.3, 1.5)	130.4, CH
7	2.08 (m)	27.51, CH ₂
8	2.08 (m)	27.50, CH ₂
9	5.48 (m)	130.4, CH
10	5.48 (m)	129.2, CH
11	2.09 (m)	33.9, CH ₂
12-37	1.25 – 1.40 (m; 52H)	29-30, CH ₂ (26C)
38	1.3 (m)	32.1, CH ₂
39	0.90 (t, 7.3)	14.1, CH ₃

3.3.2. ฤทธิ์ทางชีวภาพ

จากการทดสอบความเป็นพิษต่อเซลล์มะเร็งของสารตัวอย่าง 4 ผลการทดสอบพบว่า สารตัวอย่างมีค่าเสมือนไม่มีฤทธิ์ยับยั้งการเจริญของเซลล์มะเร็งที่ใช้เป็นเป้าหมายในการทดสอบ (ค่าการยับยั้งการเจริญของเซลล์ต่ำกว่า 50% ที่ระดับความเข้มข้น 200 mg/mL ซึ่งเป็นความเข้มข้นสูงสุดที่ใช้ในการศึกษา)

เอกสารอ้างอิง

- Barnathan, G., Genins, E., Velosaotsy, N.E., Kornprobst, J., Al-Lihaibi, S., Al-Sofyani, A., Nongonierma, R. (2003) Phospholipids fatty acids and sterols of two *Cinachrylla* sponges from the Saudi Arabian Red Sea: Comparison with *Cinachyrella* species from other origins. *Comp. Biochem. Physiol. B.* 135: 297-308.
- Carballeira, N.M, Negrón, V. (1991) Identification and characterization of two new methylcosadienoic acids from *Erylus formosus*. *J. Nat. Prod.* 54: 305-309.
- Carballeira, N.M., Reyes, E.D. (1990) Novel very long chain fatty acids from the sponge *Petrosia pallasarca*. *J. Nat. Prod.* 53: 835-840.
- Carballeira, N.M., Reyes, E.D., Shalabi, F. (1993) Identification of novel iso/anteiso nonacosadienoic acids from the phospholipids of the sponges *Chondrosia remiformis* and *Myrmekioderma styx*. *J. Nat. Prod.* 56: 1850-1855.
- Desjardins, R.E., Canfield, C.J., Haynes, J.D., Chulay, J.D. (1979) Quantitative assessment of antimicrobial activity in vitro by a semiautomated microdilution technique. *Antimicrob. Agents Chemother.* 16: 710-718.
- Elgorachi, E.E., Malan, S.F., Stafford, G.I., van Staden, J. (2006) Quantitative structure-activity relationship studies on acetylcholinesterase enz
- Eslami, M.S., Espinoza, R.T. (2003) Update in treatment for Alzheimer's disease part I: Primary treatments. *Clin. Genet.* 11: 42-48.
- Francis, P.T., Palmer, A.M, Snape, M., Wilcock, G.K. (1999) The cholinergic hypothesis of Alzheimer's disease: A review of progress. *J. Neuro. Neurosurg. Psychiatry.* 66: 137-147.
- Gunatilaka, A.A.L., Gopichand, Y.; Schmitz, F.J., Djerassi, C. (1981) Minor and trace sterols in marine invertebrates. 26. Isolation and structure elucidation of nine new 5 α ,8 α -epidioxy sterols from four marine organisms. *J. Org. Chem.* 46: 3860-3866.

- Houghton, P.J., Howes, M.-J. (2005) Natural products and derivatives affecting neurotransmission relevant to Alzheimer's and Parkinson's disease. *Neurosignals*. 14: 6-22.
- Ingkaninan, K., Changwijit, K., Suwanborirux, K. (2006) Vobasinyl-iboga bisindole alkaloids, potent acetylcholinesterase inhibitors from *Tabernaemontana divaricata* root. *J. Pharm. Pharmacol.* 58: 847-852.
- Joh, Y.-G., Elenkov, I.J., Stefanov, K.L., Popov, S.S., Dobson, G., Christie, W.W. (1997) Novel di-, tri-, and tetraenoic fatty acids with bis-methylene-interrupted double-bond systems from the sponge *Haliclona cinerea*. *Lipids*. 32: 13-17.
- Makarieva, T.N., Santolova, E.A., Gorshkova, I.A., Dmitrenok, A.S., Guzii, A.G., Gorbach, V.L., Svetashev, V.I., Stonik, V.A. (2002) A new cytotoxic fatty acid (5Z,9Z)-22-methyl-5,9-tetracosadienoic acid and the sterols from the far eastern sponge *Geodinella robusta*. *Lipids*. 37: 75-80.
- Murty, M.R.V.S., Prabhakar, S., Lakshmi, V.V.S., Vijaya Saradhi, U.V.R., Jagadeshwar Reddy, T., Vairamani, M. (2005) Mass spectral analysis of chloropicrin under negative ion chemical ionization conditions. *Anal. Chem.* 77: 3406-3410.
- Nam, K.S., Jo, Y.S., Kim, Y.H., Hyun, J.W., Kim, H.W. (2001) Cytotoxicity activities of acetoxyscirpenediol and ergosterol peroxide from *Paecilomyces tenuipes*. *Life Sci.* 69: 229-237.
- Newman, D.J., Cragg, G.M. (2004) Marine natural products and related compounds in clinical and advanced preclinical trials. *J. Nat. Prod.* 67: 1216-1238.
- Nechev, J., Christie, W.W., Robaina, R., de Diego, F., Popov, S., Stefanov, K. (2004) Chemical composition of the sponge *Hymeniacidon sanguinea* from the Canary Islands. *Comp. Biochem. Physiol. A.* 137: 365-374.
- Penn, R.D.; Paice, J.A. (2000) Adverse effects associated with the intrathecal administration of zinocotide. *Pain.* 85: 291-296.

- Rosser, R.M., Faulkner, D.J. Two steroidal alkaloids from a marine sponge, *Plakina* sp. (1984) J. Org. Chem. 49: 5157-60.
- Skehan, P., Storeng, R., Scudiero, D., Mons, A.; McMahon, J., Vistica, D., Warren, J.T., Bokesch, H., Kenney, S., Boyd, M.R. (1990) New colorimetric cytotoxicity assay for anticancer-drug screening. J. Natl. Cancer Inst. 82:1107-1112.
- Schwartzmann, G.; Brondani da Rocha, A.; Bertinck, R.G.S.; Jimeno, J. (2001) Marine organisms as a new source of new anticancer agents. Lancet Oncol. 2:221-225.
- Vairamani, M., Saraswathi, M., Viswanadha Rao, G.K. (1990) Evidence of metal surface catalysed reduction of unsaturated carboxylic acid under negative ion chemical ionization. Org. Mass Spectrom. 25: 274-276.
- Viegas Jr., C., Bolzani, V.S., Barreiro, E.J., Fraga, C.A.M. (2005) New anti-Alzheimer drugs from biodiversity: The role of the natural acetylcholinesterase inhibitors. Mini-Rev. Med. Chem: 5: 915-26.
- World Health Organization. (2005) World Malaria Report 2005. World Health Organization. Geneva, Switzerland.
- World Health Organization (2006) Guidelines for the treatment of malaria. WHO Press, Geneva: 16-66.
- Yu, S., Deng, Z., van Ofwegen, L., Proksch, P., Lin, W. (2006) 5,8-Epidioxysterols and related derivatives from a Chinese soft coral *Sinularia flexibilis*. Steroids. 71: 955-959.

ผลผลิตของโครงการวิจัย

จากผลการดำเนินงานวิจัยตามที่ได้รายงานมาแล้วข้างต้น โครงการวิจัยเรื่อง องค์ประกอบทางเคมี และสารออกฤทธิ์ทางชีวภาพในฟองน้ำของไทยจากแนวชายฝั่งจังหวัดปัตตานีนี้ สามารถสร้างผลผลิตในด้านต่างๆ ตามที่ได้เสนอไว้ในข้อเสนอโครงการวิจัย ดังต่อไปนี้

องค์ความรู้ใหม่:

ดำเนินการแยกสกัดสารจากฟองน้ำรวม 3 ชนิด จากสกุล *Corticium*, *Ciocalapata* และ *Hemigellius* และสามารถแยกสกัดสารชนิดใหม่ได้รวม 3 ชนิด คือ 4-acetoxy-plakinamine B, 5,9-*epi*-dioxysterol-3,8,17-triol และ (5Z,9Z)-nonatriacontadienoic acid และสารที่มีการรายงานมาแล้ว 1 ชนิด คือ 5,8-*epi*-ergsterol peroxide ผลการศึกษาฤทธิ์ทางชีวภาพของสารตัวอย่างที่ได้ พบว่า 4-acetoxy-plakinamine B มีฤทธิ์ยับยั้งการทำงานของเอนไซม์อะซิติลโคลีนเอสเทอเรสในระดับดี 5,9-*epi*-dioxysterol-3,8,17-triol และ 5,8-*epi*-ergsterol peroxide มีฤทธิ์ต้านมาลาเรียในระดับปานกลาง ทั้งนี้ สารตัวอย่างทั้ง 3 ชนิดข้างต้น มีฤทธิ์ความเป็นพิษต่อเซลล์ในระดับที่ต่ำกว่าที่สามารถตรวจวัดได้ในการศึกษานี้ ส่วน (5Z,9Z)-nonatriacontadienoic acid ไม่แสดงฤทธิ์ทางชีวภาพที่เป็นเป้าหมายในการศึกษานี้ในระดับที่น่าสนใจ

การผลิตนักศึกษา: นักศึกษาที่ทำวิทยานิพนธ์/ปริญญาโทที่สัมพันธ์กับการวิจัยในโครงการนี้ ประกอบด้วย

- ระดับปริญญาตรี; น.ส.อรพรรณ สกุลแก้ว และ น.ส.เปรมศิริ วิจารณ์ (สำเร็จการศึกษาแล้วในปีการศึกษา 2547)
- ระดับปริญญาโท; น.ส.รุสนี เล่งเจ๊ะ (สำเร็จการศึกษาในปีการศึกษา 2550) และ น.ส.นภัสร ฉันทธารังศิริ (คาดว่าจะสำเร็จการศึกษาในภาคฤดูร้อน ปีการศึกษา 2550)

การผลิตผลงานทางวิชาการ: ได้ตีพิมพ์ผลงานวิจัยแล้ว 1 ฉบับ (Langjae, R., Bussarawit, S., Yuenyongsawad, S., Ingkaninan, K., Plubrukarn, A. Acetylcholinesterase-inhibiting steroidal alkaloid from the sponge *Corticium* sp. *Steroids*. 2007, 72; 682-685.) และอยู่ระหว่างการจัดทำต้นฉบับเพื่อการตีพิมพ์ 1 เรื่อง (Chantathamrongsiri, N., Bussarawit, S., Yuenyongsawad, S., Plubrukarn, A., Wattanapiromsakul, C., Suwanborirux, K. Antimalarial steroidal peroxides from the sponge *Ciocalapata* sp. *Steroids*. 2008, 73; in preparations.)

นอกจากนั้น ผลงานวิจัยตามที่ได้รายงานไปข้างต้น ได้นำเสนอในที่ประชุมวิชาการแล้ว 2 เรื่อง ได้แก่

Sakulkeo, O., Wicham, P., Bussarawit, S., Yuenyongsawad, S., Plubrukarn, A. A new (Z,Z)-5,9-fatty acid from the Thai sponge *Hemigellius* sp. 46th Annual Meeting of the American Society of Pharmacognosy. July23-27, 2005. Corvallis, OR, USA.

Langjae, R., Bussarawit, S., Yuenyongsawad, S., Ingkaninan, K., Plubrukarn, A. An acetylcholinesterase inhibiting steroidal alkaloid from the Thai sponge *Corticium* sp. 12th International Symposium on Marine Natural Products. February 4-9, 2007. Queenstown, New Zealand.